

## (12) ОПИСАНИЕ ИЗОБРЕТЕНИЯ К ЕВРАЗИЙСКОЙ ЗАЯВКЕ

Дата публикации заявки (43)2019.12.30

Дата подачи заявки (22)2017.12.19

(51) Int. Cl. A61K 41/00 (2006.01) A61N 2/00 (2006.01) A61N 1/36 (2006.01) A61N 1/04 (2006.01) A61P 43/00 (2006.01)

#### НАНОЧАСТИЦЫ ДЛЯ ПРИМЕНЕНИЯ ДЛЯ УЛУЧШЕНИЯ ДЕЯТЕЛЬНОСТИ МОЗГА (54) ИЛИ ДЛЯ ЛЕЧЕНИЯ СТРЕССА

- 16306752.3 (31)
- (32) 2016.12.21
- (33) EP
- (86)PCT/EP2017/083608
- (87)WO 2018/114988 2018.06.28
- (71)Заявитель: НАНОБИОТИКС (FR)
- (72)Изобретатель: Леви Лоран, Мер Мари-Эдит, Поттье Аньес (FR)
- (74) Представитель: Медведев В.Н. (RU)

(57) Данное изобретение относится к области медицины, в частности к улучшению деятельности мозга и к лечению патологического стресса. Более конкретно, данное изобретение относится к наночастице или агрегату наночастицы для применения с целью улучшения деятельности мозга или профилактики или лечения патологического стресса у субъекта, когда наночастица и/или агрегат наночастиц подвергается воздействию электрического поля, где материал наночастицы или агрегата наночастиц выбирают из проводящего материала, полупроводящего материала, изоляционного материала с диэлектрической константой  $\epsilon_{ijk}$ , равной или выше 200, и изоляционного материала с диэлектрической константой  $\varepsilon_{ijk}$ , равной или ниже 100. Оно также относится к композициям и наборам, содержащим такие наночастицы и/или агрегаты наночастиц, а также к их применению.

#### ОПИСАНИЕ ИЗОБРЕТЕНИЯ

2420-558009EA/042

# НАНОЧАСТИЦЫ ДЛЯ ПРИМЕНЕНИЯ ДЛЯ УЛУЧШЕНИЯ ДЕЯТЕЛЬНОСТИ МОЗГА ИЛИ ДЛЯ ЛЕЧЕНИЯ СТРЕССА

Настоящее изобретение относится к области медицины, В частности, к улучшению деятельности мозга и лечению патологического стресса. Более конкретно, данное изобретение относится к наночастице или агрегату наночастицы для применения целью улучшения деятельности мозга или профилактики лечения патологического стресса у субъекта, когда наночастица или агрегат наночастиц подвергается воздействию электрического поля/стимула, где материал наночастицы или агрегата наночастиц выбирают из проводящего материала, полупроводящего материала, изоляционного материала с диэлектрической константой  $\epsilon_{\text{ijk}}$ . равной 200, и изоляционного материала с диэлектрической или выше константой  $\epsilon_{\text{ijk}}$ , равной или ниже 100. Оно также относится к и наборам, содержащим такие наночастицы и/или КОМПОЗИЦИЯМ агрегаты наночастиц, а также к их применению.

#### УРОВЕНЬ ТЕХНИКИ

С развитием понимания нейробиологии, мозг можно представить как электрическую сеть, кодирующую и передающую информацию по своим электрическим проводам - нейронам. Связь между нейронами проста и сложна одновременно: проста, потому что она основана на притоке/оттоке ионов внутри нейронов, которые приводят потенциалам действия (или «всплескам» электрической активности); потому что сеть мозга состоит из сотен миллиардов нейронов, которые образуют узлы, центры и модули, демонстрируют скоординированные взаимодействия В различных пространственных и временных масштабах (Fornito et al., Nature Reviews Neuroscience, 2015, 16, 159-172: The connectomics of brain disorders). Нейронная связь зависит от анатомических компонентов, которые соединяют отдельные нейроны (структуры), и от процесса передачи информации (функции). Оба аспекта влияют на общую деятельность нервной системы. Нейронные взаимодействия передаются колебаниями паттерна электрической активности мозга,

где колебания обычно измеряются с помощью электроэнцефалограммы (ЭЭГ). Наблюдаются разные полосы частот колебаний: дельта, тэта, альфа, бета, гамма (Ward et al., Trends in Cognitive Sciences, 2003, 7(12), 553-559: Synchronous neural oscillations cognitive processes). В структурном отношении наиболее яркой нейроанатомической особенностью мозга является обильная связь между нейронами, что отражает важность нейронной коммуникации. Представляется, что синхронизация колебаний ("синхронность") между одной областью мозга и другой составляет последний уровень информационного кодирования [первый уровень (нейрон): потенциалы пействий; йофота уровень (нейронная сеть (и)): нейронные колебания] привнося пространственно-временную координацию (Engel et al., Nature Reviews Neuroscience, 2001, 2, 704-716: Dynamic predictions: oscillations and synchrony in top-down processing). Важно отметить, что появляются доказательства того, что тонко сбалансированная схема синхронизации И десинхронизации пространстве И времени является фундаментальной ДЛЯ функциональной деятельности нервной системы (Schnitzler et al., Nature Reviews Neuroscience, 2005, 6, 285-296: Normal and pathological oscillatory communication in the brain).

Развитие определенных навыков, креативности или генерации идей у определенных людей, а не у других, является чем-то очень загадочным, и до сих пор не объяснено. Однако изучение некоторых заболеваний и их симптомов может помочь понять функционирование «нормального» и «аномального» мозга. Например, было отмечено, что люди с нейродегенеративным заболеванием, таким как лобновисочная деменция, развивают навыки рисования и живописи развитием своего заболевания (Miller et al., Neurology, 1998, 978-982: Emergence of artistic talent in frontotemporal dementia). Несколько публикаций демонстрируют, чπо предрасположенность к неврологическому заболеванию, такому как биполярное расстройство, шизофрения или аутизм, выше у людей (и родственников первой степени), работающих в креативной области (инженерия, литература, живопись), чем у "не креативных людей" (Andreasen N.C., American Journal of Psychiatry, 1987,

144(10), 1288-1292: Creativity and mental illness: prevalence rates in writers and their first-degree relatives; Baron-Cohen 1997, 101-109: Is there link al., Autism, а engineering and autism; Sussman et al., Stanford Journal of Neuroscience, 2007, 1(1), 21-24: Mental illness and creativity: a neurological view of the "tortured artist"). Были разработаны несколько моделей для описания процесса создания и генерации идей: полушарная модель, которая предполагает, ЧТО не доминирующее полушарие специализируется на креативной деятельности, или, в последнее время, лобно-височная модель, которая предполагает, что изменения в височной доле могут усилить процесс генерации идей, тогда как изменения в лобной доле могут ослабить его (Flaherty et al., J Comp Neurol, 2005, 493(1), 147-153: Frontotemporal and dopaminergic control of idea generation and creative drive). Действительно, некоторые ученые выполнять сложные численные расчеты, В TOже испытывая недостаток знаний в элементарной арифметике (Snyder et al., Proceedings of the Royal Society of London B, 1999, 266, 587-592**:** Isinteger arithmetic fundamental to mental processing?: the mind's secret arithmetic). Интересно, что есть свидетельства того, что такая необычная способность связана с торможением левого (доминантного) полушария вместе с содействием правому (недоминантному) полушарию (Treffert D.A., Philosophical Transactions of the Royal Society B, 2009, 364, 1351-1357: The savant syndrome: an extraordinary condition. A synopsis: past, present, future).

Таким образом, мозг представляет собой динамическую которой специфические состояния систему, функционирования мозга происходят комплексных возбуждающих ИЗ И XNURCOMOOT взаимодействий между популяциями нейронов. В таком случае, "аномальное" состояние отражает дисбаланс между комплексными возбуждающими и тормозящими взаимодействиями между нейронными популяциями (Kapur et al., Brain, 1996, 119, 1775-1790: Paradoxical functional facilitation in brain-behaviour research, a critical review).

В настоящее время модуляция электрической активности (нейромодуляция) может быть вызвана с нейронов помошью электростимуляции. Существующие методики получения либо электрического стимула В мозге используют оумкап электростимуляцию, либо индукцию электрического поля через применение электрического тока через магнитную катушку.

Транскраниальную микрополяризацию (ТКМП) уже применяли для тестирования воздействия электростимуляции на деятельность мозга физические навыки. Коротко, ТКМП состоит в применении непрерывного слабого тока на поверхности черепа, через губчатые электроды на двух различных областях мозга, где ОДИН стимулируется анодом, другой стимулируется катодом. Несколько опытов показали, что при применении электродов на поверхности черепа и тока менее 2 мА в течение менее 30 мин, занятых различными задачами, такими как математическое обучение, кратковременная память, изучение языка ИЛИ приобретение двигательных навыков, улучшение эффективности этой задачи наблюдалось по сравнению с фиктивной стимуляцией (Filmer et al., Trends in Neurosciences, 2014, 37(12), 742-753: Applications of transcranial direct current stimulation for understanding brain function). Команда из Исследовательской лаборатории BBC Министерства обороны США недавно продемонстрировала, применение анодной ТКМП для военных операторов при 2 мА в течение 30 минут в левой дорзолатеральной префронтальной коре постоянным вниманием, кратковременной (связанной с принятием решений, планированием и рассуждением) значительно улучшает способность участников к многозадачности (Nelson et al., Front. Hum. Neurosci., 2016, 10:589: The effects of transcranial direct current stimulation on multitasking throughput capacity).

Также было показано, что транскраниальная микрополяризация вызывает полезные нейронные эффекты, которые дают улучшение моторного поведения, а именно, реабилитации физических способностей в случае удара (Madhavan et al., Frontiers in Psychiatry, 2012, 3(66), 1-9: Enhancing motor skill learning with transcranial direct current stimulation - a concise review

with applications to stroke). У здоровых людей электростимуляция рассматривается как средство для улучшения, увеличения или повышения физических характеристик/возможностей (Banissy et al., Frontiers in Human Neuroscience, 2013, 7(129), 1-3: Transcranial direct current stimulation in sports training: potential approaches).

Электрическое стимулирование мозга является интересным способом улучшения деятельности/возможностей мозга.

Недавно были предложены неинвазивные методы нейронной стимуляции, такие как использование света или ультразвука для прямой стимуляции нейронов.

Интересно, что были исследованы наноматериалы с уникальными свойствами посредника преобразования качестве ДЛЯ беспроводного первичного стимула в локализованный стимул, в основном, электрическое поле или тепло, на границе раздела наноматериал-нейрон (Wang Y. & Guo L. Nanomaterialenabled neural stimulation. Frontiers in Neuroscience. 2016; vol. 10, Article 69). Таким образом, была продемонстрирована оптоэлектрическая трансдукция с использованием квантовых точек, оптотермическая трансдукция С использованием ЗОЛОТЫХ магнитоэлектрическая наноматериалов, трансдукция использованием магнитоэлектрических наночастиц, использованием магнитотермическая трансдукция С суперпарамагнитных наночастиц и акустоэлектрическая трансдукция с использованием пьезоэлектрических наноматериалов.

Например, магнитоэлектрические (МЭ) наночастицы являются композитными наночастицами, обладающими пьезоэлектрическими и магнитострикционными свойствами. Конкретно, МЭ-эффект, создаваемый, например, наночастицами  $CoFe_2O_4$ -BaTiO3, возникает при объединенном действии двух различных материалов, т.е. магнитострикционного ( $CoFe_2O_4$ ) материала и пьезоэлектрического ( $BaTiO_3$ ) материала. Более точно, если наночастицы  $CoFe_2O_4$ -BaTiO3 подвергаются воздействию магнитного поля, то: во-первых, магнитострикционный материал изменяет свою длину (объем), тем самым вызывая локальный стресс, во-вторых, пьезоэлектрический материал создает электрическую поляризацию (заряд) в результате

этот локальный стресс. Ни магнитострикционный реакции на пьезоэлектрический материал не способны материал, сами МЭ-эффект ИЛИ электрическую поляризацию ПОД воздействием магнитного поля, что объясняется у Grössinger R. et al. (Grössinger R. et al., Journal of Magnetism and Magnetic Materials, 2008, 320, 1972-1977: The physics of magnetoelectric composites).

Данное изобретение относится к наночастицам и/или агрегатам наночастиц (агрегатам наночастиц) ДЛЯ применения в/пля повышения или улучшения деятельности/способностей мозга для профилактики или лечения/для применения в профилактике или лечении патологического стресса или, по крайней мере, одного наночастица ИЛИ агрегат симптома, где воздействию подвергается электрического поля/стимула. Электрическое поле обычно применяют с помощью транскраниальной (TЭC) или транскраниальной магнитной электростимуляции стимуляции (ТМС).

Наночастицы или агрегаты наночастиц улучшают возбуждающее и/или ингибирующее действие применяемого электрического поля на нейронную сеть (-и) в одной и/или другой области мозга, сужая пространственное разрешение (очаговость) и повышая глубину проникновения электрического поля, при применении стандартных методик электростимуляции.

Более того, наночастицы или агрегаты наночастиц в соответствии с данным изобретением позволяют снизить применяемый ток, напряжение, ширину и/или частоту импульсов, тем самым снижая известную потенциальную токсичность, связанную с прилагаемым/индуцируемым электрическим током.

#### КРАТКОЕ ОПИСАНИЕ

данном документе, с обеспечением выгодного эффекта, описана наночастица или впервые агрегат наночастиц ДЛЯ увеличения, повышения в/для ИЛИ деятельности/способностей мозга или для профилактики или лечения/для профилактике или применения В лечении патологического стресса или, ПО крайней мере, ОДНОГО его симптома у субъекта, где наночастица или агрегат наночастиц подвергают воздействию электрического поля/стимула. Материал наночастиц или агрегатов наночастиц обычно выбирают из проводящего материала, полупроводящего материала, изолирующего материала с диэлектрической константой  $\epsilon_{ijk}$  равной или выше 200, и изолирующего материала с диэлектрической константой  $\epsilon_{ijk}$  равной или ниже 100.

Также описано применение наночастицы или агрегата наночастиц для получения композиции для увеличения, повышения или улучшения деятельности/способностей мозга или для профилактики или лечения патологического стресса или, по крайней мере, одного его симптома, у субъекта, нуждающегося в таковом.

Также здесь описана композиция для применения в/для для профилактики улучшения деятельности мозга ИЛИ или лечения/для применения В профилактике ИЛИ лечении автологического стресса или, ПО крайней мере, одного его симптома, у субъекта, подвергающегося воздействию электрического поля/стимула, где композиция содержит или состоит из наночастиц агрегатов наночастиц И фармацевтически приемлемой подложки, и где материал наночастиц или агрегатов наночастиц проводящего материала, полупроводящего обычно выбирают ИЗ материала, изолирующего материала с диэлектрической константой равной или выше 200, И изолирующего материала  $\epsilon_{ ext{iik}}$ диэлектрической константой  $\epsilon_{ijk}$  равной или ниже 100.

Далее описан набор, содержащий, по крайней мере, две отдельных наночастицы и/или агрегата наночастиц, где каждая наночастица ИЛИ агрегат наночастиц состоит ENотдельных обычно выбранных из проводящего материалов, материала, материала, изолирующего полупроводящего материала 200, диэлектрической константой  $oldsymbol{arepsilon}_{ ext{ijk}}$  равной или выше изолирующего материала с диэлектрической константой  $\epsilon_{\text{ijk}}$  равной или ниже 100, и его применение обычно для улучшения деятельности или в способе улучшения деятельности мозга, профилактике или лечении патологического стресса или, по крайней мере, одного его симптома у пациента.

## ПОДРОБНОЕ ОПИСАНИЕ

По оценкам, нервная система человека состоит из примерно 80-120 миллиардов нервных клеток (Herculano-Houzel S. Frontier in Human Neuroscience (2009), 3(31): 1-11: The human brain in numbers: a linearly scaled-up primate brain). Определяющей характеристикой нейрона (или нервной клетки) является способность передавать электрические сигналы в форме потенциалов действия.

Нейрон/нервная клетка составляет элементарный узел мозга. Структура нейрона/нервной клетки состоит из: "сомы" или "тела клетки", которая содержит ядро и может быть пролонгирована дендритами, "нейрита", который передает электрический сигнал, и окончания нейрита, которое состоит из синаптических окончаний.

Нервные клетки могут взаимодействовать друг с другом в высоко структурированной манере, образующей нейронные сети. Нейрон взаимодействует через синаптические связи. Внутри нейрона наноцепи составляют основной биохимический механизм для медиирования ключевых нейронных свойств, таких как обучение и память, и генез нейронной ритмичности.

Микроцепь может быть образована всего лишь несколькими нейронами и может выполнять сложные задачи, такие как обрабатывать сенсорную медиировать рефлексы, информацию, инициировать движение и медиировать обучение и память. Макроцепь является более сложной сетью, которая состоит из множества встроенных микроцепей. Макроцепи медиируют высшие функции мозга, такие как распознавание объекта и познание. Итак, несколько уровней сетей занимают нервную систему.

## Возбудимость нейронной сети

Нейроны посылают сообщения электрохимически (т.е. химические вещества/ионы вызывают электрический сигнал). Важными ионами в нервной системе являются натрий и калий, кальций и хлорид. Когда нейрон не посылает сигнал, он находится "в состоянии покоя". Если нейрон находится в состоянии покоя, внутренняя часть нейрона является отрицательной относительно внешней части. Хотя концентрации различных ионов пытаются балансировать на обеих сторонах мембраны, они не могут, потому

что клеточная мембрана пропускает только некоторые ионы через каналы (ионные каналы). В дополнение к этим селективным ионным существует помпа, которая использует перемещения трех ионов натрия из нейрона на каждые два иона вводит. Наконец, когда калия, которые она все NTE СИЛЫ напряжении между сбалансированы, и разница в внешней частью нейрона измерена, мембранный потенциал покоя (также «потенциал покоя») нейрона составляет около -70 мВ. Это означает, что внутренняя часть нейрона на 70 мВ меньше, чем внешняя часть. В состоянии покоя, снаружи нейрона находится относительно больше ионов натрия, а внутри этого нейрона больше ионов калия. Потенциал действия (также идентифицированный как "импульс") возникает, "всплеск" ИЛИ когда нейрон информацию вниз к нейриту, от тела клетки. Это означает, что некоторое событие (стимул) заставляет потенциал покоя двигаться в направлении 0 мВ. Когда деполяризация достигает около -55 мВ, нейрон запускает потенциал действия. Если деполяризация OTOTE критического порогового уровня, действия не запускается (механизм включения/выключения). Также, если пороговый уровень достигается, всегда возникает потенциал действия фиксированной амплитуды. Поэтому либо деполяризация не достигает порога, либо создается полный потенциал действия.

Большая изменчивость обнаружена в скорости распространения действия. Фактически, скорость потенциалов распространения потенциалов действия в нервах может варьироваться от 100 метров в секунду до менее десяти метров в секунду. В то время как константа времени является показателем того, как быстро мембрана реагировать на раздражитель во времени, константа пространства (также константа длины) является показателем того, насколько хорошо электрический потенциал будет распространяться вдоль нейрита в зависимости от расстояния.

#### Межнейрональная связь внутри и между нейронными сетями

Существует три типа сетей межнейрональных связей, которые используются для изучения связи внутри и в пределах головного мозга. Структурные межнейрональные связи основаны на определении

трактографии, которая физически соединяет области головного Это анатомические сетевые карты, которые указывают по которым могут передвигаться сигналы возможные пути, головном мозге. Функциональные межнейрональные СВЯЗИ идентифицируют активность в областях головного мозга, которая имеет схожую частоту, фазу и/или амплитуду коррелированной активности. Эффективные межнейрональные СВЯЗИ применяют информацию функциональных межнейрональных связей и это еще один шаг вперед в определении прямого или косвенного влияния, которое одна нейронная система может оказывать на другую, в частности, направление динамического потока информации в мозге (Bowyer et 2(1), Neuropsychiatric Electrophysiology, 2016, Coherence a measure of the brain networks: past and present.).

Синхронизированная активность в нейронной сети может быть определена магнитоэнцефалограммой (МЭГ), электроэнцефалограммой (ЭЭГ), функциональной магнитно-резонансной томографией или позитронно-эмиссионной томографией (ПЭТ), затем изображением межнейрональных анализом сети связей. МЭГ (электроэнцефалограмма) ЭЭГ (магнитоэнцефалограмма) ИЛИ предпочтительны, так как они имеют высокое временное разрешение динамического потока информации. разрешения Анализ межнейрональных связей мозга проводят, чтобы наметить коммуникационные сети, необходимые для работы мозга. Отдельные области мозга специализируются на обработке определенных видов информации. Методы визуализации показали, ЧТО NTE связаны И взаимодействуют с другими специализированными областями в пределах сетей в мозге. "Когеренция" (Bowyer et al.) является математическим методом, который количественно определяет частоту И амплитуду синхронности (состояние нахождения в синхронности или синхронизированное состояние) структур колебаний функционирования нейрональных мозга. Определение синхронной активации нейронов может быть использовано для определения благополучия или целостности функциональных межнейрональных связей в мозге человека. Наложение карт функциональных межнейрональных связей на

изображения структурных межнейрональных связей и использование направления потока информации, полученного из эффективных межнейрональных связей, обеспечивает всеобъемлющее понимание того, как функционирует мозг.

Неповрежденный мозг экспрессирует сложные схемы синхронной активности, ассоциированные с различными 'статусами' организма, от медленного дельта ритма  $(0,5-4\ \Gamma \mu)$ , через тэта  $(4-8\ \Gamma \mu)$ , альфа  $(8-12 \ \Gamma \mu)$ , бета  $(15-30 \ \Gamma \mu)$  и гамма  $(30-70 \ \Gamma \mu)$  колебания. Интересно, что диссоциированная культура корковых структур систему для изучения правил, которые предлагает удобную определяют возникновение, генерацию и распространение сетевых (скоплений (всплесков) И вспышек всплесков) разрядов популяциях плотно связанных нейронов. Сетевая активность может быть записана для длительных периодов времени не инвазивным временным методом С конечным разрешением, используя многоэлектродные матрицы. 2-мерная диссоциированная культура может применяться в качестве жизнеспособной системы тестирования ДЛЯ изучения правил, которые управляют образованием сохранением сетевой активности в мозге, позволяя тестировать гипотезу, которая не может быть решена в неповрежденном мозге al., Brain Research, 2008, 1235, 21-30: (Cohen E . et Determinants of spontaneous activity in networks of cultured hippocampus).

Умственные способности человека или его деятельность мозга, интеллект, особенно такие сложны. Понимание способностей в механистическом плане может способствовать их совершенствованию. Исследования с использованием энцефалограмм и событийно-обусловленных потенциалов показывают, что скорость и надежность нейронной передачи связаны С более показателями, как правило, с более высоким интеллектом. Ранние исследования нейровизуализации с использованием ПЭТ показали, интеллект отрицательно коррелирует метаболизмом ЧТО С церебральной глюкозы во время умственной деятельности, приводит к формулировке гипотезы «нейронной эффективности». Согласно этой гипотезе, более умные люди тратят меньше нейронных

ресурсов для выполнения данного уровня. Интеллект в смысле рассуждений и новых способностей к решению проблем постоянно структурой и с целостностью, функцией латеральной префронтальной коры и, возможно, с функцией других областей. Нерешенные вопросы о нейронных основах интеллекта включают, помимо прочего, взаимосвязь между психометрическим интеллектом (т.е. интеллектом, измеренным В тесте ІО-типа, обычно оценивающем точность реакции (a не скорость)) и (i) функциональной межнейрональной связью между компонентами рабочих показано В исследованиях памяти, как электроэнцефалограмм, и (ii) нейронной пластичностью (то есть термином, используемым для обозначения тех процессов, которые связаны с серьезными изменениями нервной системы в ответ на опыт, и которые перестают действовать в зрелом возрасте человека). Сообщалось, что развитие нейронных связей согласуется с развитием интеллекта (Gray J.R. et al., Nature Review Neuroscience, 2004, 5, 471-482: Neurobiology of intelligence: science and ethics; Garlick D., Psychological Review, 2002, 109(1), 116-136: Understanding the nature of general factor of intelligence: the role of individual difference in neural plasticity as an explanatory mechanism.).

Коммуникация между нейронами действительно важна для высших функций мозга, таких как восприятие, память и движение (Massobrio P et al. Neural Plasticity, 2015, Article ID 196195, In vitro studies of neuronal networks and synaptic plasticity in invertebrates and in mammals using multi electrode arrays). Xots предполагается, что формирование и развитие связей имеют процессе обучения, их сохранение, решающее значение в видимому, необходимо для памяти. Синаптическая пластичность долгое время была вовлечена в когнитивные процессы, такие как обучение и память. Синаптическая пластичность на сетевом уровне обеспечивает распределенный механизм для преобразования хранения временной информации в пространственно-распределенных схемах синаптических модификаций. Каждый раз, когда узнают, сеть развивает новую межнейрональную связь и включает новые изученные факты. Известно, что электростимуляция может

эффективно вызывать изменения в синхронизации сети частности, влиять на свойства разрыва сети, увеличивая скорость и разряда и разрыва. Более того, после такого рода спонтанной активностью стимуляции самые сильные соединения связанной с реагируют дальнейшим увеличением своей силы по сравнению с другими соединениями в сети. Этот механизм, вероятно, сохраняет соединения, которые более информативны и имеют отношение к общей сетевой активности. Chiappalone et al. (European Journal of Neuroscience, 2008, 28, 221-237: Network plasticity in cultured cortical assemblies) обнаружил, что применение found применение высокочастотной тетанической стимуляции с или без низкой частоты 0,2 Гц в фазе или изочастотной коактивации 1 Гц способно вызвать синаптическое потенцирование глобальной сети. Отклик сети явно увеличивается благодаря синаптическому потенцированию, ЧТО ОНЖОМ понять, посмотрев на увеличение количества эффективных соединений сети (Poli D. et al. Frontiers Circuits., 2015, 9, article 57: Functional in Neural connectivity in in vitro neuronal assemblies). Le Feber et al. (PLoS ONE, 2010, 5(1), e88871: The effect of slow electrical stimuli to achieve learning in cultured networks of rat cortical neurons) применил к кортикальным структурам в зрелом состоянии развития импульсы двухфазного тока с частотой 0,2-0,33 Гц для исследования возможных модификаций функциональных межнейрональных связей сети и, следовательно, синаптической пластичности. Они обнаружили, что электростимуляция влияет на количество функциональных связей (соединений), а также на среднюю магнитуду изменений.

Эффективные соединения между нейронами могут быть определены, например, мультиэлектродными матрицами на диссоциированных нейронных культурах, как представлено у Chiappalone et al. (European Journal of Neuroscience, 2008, 28, 221-237: Network plasticity in cultured cortical assemblies) или методами получения изображений, хорошо известными специалисту в данной области техники, такими как методы визуализации на основе электронов, которые дают структурную информацию о синаптических межнейрональных связях, обычно, электронная микроскопия (ЭМ),

например, серийная блочная электронная микроскопия (СБЭМ), сканирующая электронная микроскопия с серийным срезом (СЭМСС), ЭМ с автоматической передачей (ЭМАП) и т.д.; методы визуализации на основе фотона, например, "брэйнбоу" (Lichtman JW et al., Curr Opin Neurobiol, 2008, 22, 144-153: Ome sweet ome: what can the genome tell us about the connectome?; Cai D., et al., Nat Methods, 2013, 10(6), 540-547: Improved tools for the Brainbow toolbox), "матричная томография" (МТ) (Micheva KD., et al., 2007, Neuron, 55, 25-36: Array tomography: a new tool for imaging the molecular architecture and ultrastructure of neural circuits; Micheva KD., et al., 2010, Neuron, 68, 639-653: Single-synapse analysis of a diverse synapse population: proteomic imaging methods and markers), воспроизведение GFP через синаптических партнеров ("GRASP"), в частности, GRASP млекопитающих "mGRASP" (Kim J, et al., 2012, Nat Methods, 9(1), 96-102: mGRASP enables mapping mammalian synaptic connectivity with light microscopy; Feng L, et al., 2012, Bioinformatics, 28, i25-i31: Improved synapse detection for mGRASP-assisted brain connectivity.), транссинаптическое отслеживание вирусом бешенства (Osakada F, et al., 2011, Neuron, 71, 617-631: New rabies virus variants for monitoring and manipulating activity and gene expression in defined neural circuits; Wickersham IR, et al., 2007, Nat Methods, 4(1), 47-49: Retrograde neuronal tracing with a deletion-mitant rabies virus; Wickersham IR, et al., 2007, Neuron, 53(5), 639-647: Monosynaptic restriction transsynaptic tracing from single, genetically targeted neurons), флуоресцентная селективная плоскостная микроскопия освещения (fSPIM) (Tomer R, et al., 2012 Nat methods, 9, 755-Quantitative high-speed imaging of entire developing embryos with simultaneous Multiview light-sheet microscopy; York AG, et al., 2012, Nat Methods, 9(7), 749-754: Resolution doubling in live, multicellular organisms via multifocal structured illumination microscopy.), предпочтительно сочетании со способом очистки, таким как "CLARITY" (Chung K, et al., 2013, Nature, 497 (7449), 332-337: Structural and molecular

interrogation of intact biological systems.); a также ортогенетические методы, такие как методы получения изображений канал-родопсина и/или двухфотонного микроскопического кальция, которые позволяют отображать пространственное распределение синаптических связей вместе с показателями синаптической силы (Petreanu L, et al., 2007, Nat Neurosci, 10, 663-668: Channelrhodopsin-2-assisted circuit mapping of long-range callosal projections; Wang H, et al., 2007, Proc Natl Acad Sci USA, 104, 8143-8148: High-speed mapping of synaptic connectivity using photostimulation in channelrhodopsin-2 transgenic mice) a также определение активных синапсов, возбужденных различными вводами (Little JP, et al., 2012, J Neurosci: Off J Soc Neurosci, 32(37), 12808-12819: Subcellular synaptic connectivity of layer 2 pyramidal neurons in the medial prefrontal cortex; MacAskill AF, et al., 2012, Nat Neurosci, 15(12), 1624-1626: Subcellular connectivity underlies pathway-specific signaling in the nucleus accumbens); или любые сочетания этих разных методов (Yook C. et al., Cellular and Molecular Life Sciences, 2013, 70, 4747-4757: Mapping mammalian synaptic connectivity).

Изменения сетевой активности вызывают изменения плотности подъединиц рецептора глутамата 2-амино-3-(5-метил-3-оксо-1,2оксазол-4-ил) пропановой кислоты (АМПК), которые присутствуют на шипах, найденных в возбуждающих синапсах. Такие пертрубации могут влиять на вероятность потенциала действия и результирующую частоту пульсации в сети нейронов. синаптических модуляций наблюдались В СВЯЗИ с изучением памятью и, как полагают, лежат в основе нейронного субстрата памяти, известного как долговременная потенциация (ДП). Niedringhaus M.et al. (PLoS ONE, 2013, 8(3), e57144: Synaptic Potentiation Facilitates Memory-like Attractor: Dynamics Cultured In Vitro Hippocampal Networks) описывает временную активность, которая сетевую возникает NGU фармакологических агентов форсколина (50 мМ) и ролипрама (100 культивированные нейроны гиппокампа ДЛЯ того, чтобы вызвать химическую долговременную потенциацию (ДП). Авторы наблюдали значительное увеличение активности всплесков

разрывов после химической ДП. Более того, после химической ДП, всплески, по-видимому, группируются в плотно организованные эпизоды укороченной продолжительности и более высокой частоты. коэффициента Происходит равномерное снижение вариаций всплесковых интервалов на всех электродах, прошедших химическую ДП. образом, их результаты показали, Таким модуляции в синапсе, стимулируемые молекулярные повышенным потенцированием, приводят к перестройке всплесков, поскольку они уплотненные постоянной образуют ПЛОТНО эпизоды активности. Всплески важны во время развития, поскольку они способствуют нормальному функционированию в развитии нейронов, что, в свою помогает создавать жизнеспособные очередь, связи. Эти результаты демонстрируют, объединенные ЧТО синаптическая потенциация ответственна за реструктуризацию профиля всплеска. Эти реструктурированные всплески облегчают хранение информации в сети.

## Структура коры головного мозга

Существует два больших класса кортикальных нейронов: «тормозные нейроны» или «интернейроны», которые создают только ближние локальные связи; «возбуждающие нейроны» И ИЛИ «проекционные нейроны» «пирамидальные нейроны», ИЛИ распространяют нейриты на отдаленные внутрикорковые, подкорковые субцеребральные мишени. «Ингибирующие нейроны» «интернейроны» составляют меньшинство (20%) корковых нейронов; большинство составляют «пирамидальные нейроны» (Shipp Current Biology, 2007, 17(12), R443-449: Structure and function cerebral cortex). Проекционные нейроны the глутаматергическими нейронами, которые передают информацию между областями неокортекса и В другие области мозга (Bikson et al., J Physiol, 2004, 557(1), 175-190: Effects of uniform extracellular DC electric fields on excitability in rat slices in vitro). Проекционные hippocampal нейроны пирамидальные нейроны названы ПО ИX выдающемуся апикальному дендриту, который обычно направлен на поверхность, обеспечивая им пирамидальную морфологию. Обычно нейрон «принадлежит» слою, в котором находится его клеточное тело (или «сома»), даже если апикальный и базальный дендриты между ними охватывают еще несколько слоев, улавливая более широкий диапазон сигналов (Shipp S., Current Biology, 2007, 17(12), R443-449: Structure and function of the cerebral cortex).

Серое вещество коры головного мозга представляет собой извилистый, слоистый слой ткани, толщиной 2-3 миллиметра у человека, но с площадью поверхности в несколько сотен квадратных сантиметров (Shipp S., Current Biology, 2007, 17(12), R443-449: Structure and function of the cerebral cortex). В коре головного мозга распознают шесть основных слоев:

- слой I, молекулярный слой, содержащий мало рассеянных нейронов и состоящий, в основном, из расширений апикальных дендритных пучков пирамидальных нейронов и горизонтально ориентированных нейритов, а также глиальных клеток;
- слой II, внешний гранулярный слой, содержащий преимущественно мелкие и средние пирамидальные нейроны и многочисленные звездчатые нейроны;
- слой III, внешний пирамидальный слой, содержащий преимущественно мелкие и средние пирамидальные нейроны, а также не пирамидальные нейроны с вертикально ориентированными внутрикортикальными нейритами;
- слой IV, внутренний зернистый слой, содержащий различные типы звездчатых и пирамидальных нейронов;
- Слой V, внутренний пирамидальный слой, содержащий крупные пирамидальные нейроны, которые являются источником нейритов, покидающих кору и стекающих к подкорковым структурам (таким как базальные ганглии). В первичной моторной коре лобной доли, слой V содержит клетки, нейриты которых проходят через внутреннюю капсулу, ствол головного мозга и спинной мозг, образуя кортикоспинальный тракт, который является основным путем для произвольного моторного контроля; и
- слой VI, полиморфный или мультиформный слой, содержащий мало крупных пирамидальных нейронов и много мелких веретенообразных пирамидальных и мультиформных нейронов; слой VI посылает эфферентные волокна к таламусу, устанавливая очень точное взаимное соединение между корой и таламусом.

Эти слои по-разному развиваются в различных областях коры головного мозга, например, пирамидальные слои более развиты в двигательных центрах, а гранулярные в сенсорных центрах коры головного мозга.

## Модуляция возбудимости коры при электростимуляции

Транскраниальная микрополяризация (ТКМП) является методом электростимуляции коры головного мозга, включающим электроды (один анод и один катод), размещенные на поверхности черепа. Как таковая, ТКМП вызывает модулирование возбудимости коры и пластичные изменения в нейронной сети(ях).

Ток, применяемый в ТКМП, модулирует спонтанную нейронную активность в зависимости от полярности. Поверхностная анодная стимуляция обычно вызывает поток входящего тока в коре, который ожидается благодаря соматической деполяризации пирамидальных кортикальных нейронов и апикальной дендритной гиперполяризации, а поверхностная катодная стимуляция обычно вызывает поток выходящего тока в коре и, как ожидается, приводит к соматической гиперполяризации пирамидальных кортикальных нейронов и апикальной дендритной деполяризации (Kadosh RC, "The stimulated brain", 2014, edited by Elsevier) (см. фигуру 1).

Нейронная поляризуемость также тэжом зависеть ОТ направления применяемого электрического поля относительно оси нейрона (Bikson et al., J Physiol, 2004, 557, 1, 175-190: Effects of uniform extracellular DC electric fields excitability in rat hippocampal slices in vitro). Существуют различные конфигурации электродов, дающие различные стимуляции и тока (см. фигуру 2). Область мозга, стимулированная составляет область, нейронная анодом, где активность возбуждена/усилена, а область мозга, стимулированная катодом, составляет область, где нейронная активность тормозится (Kadosh RC, "The stimulated brain", 2014, edited by Elsevier) (см. фигуру 3).

В данном документе преимущественно впервые описаны наночастица или агрегат наночастиц для применения в/для усиления, увеличения или улучшения деятельности/способностей

мозга для профилактики или лечения/для применения в профилактике или лечении патологического стресса или, по крайней мере, одного симптома, где наночастица ИЛИ агрегат подвергается электрическому полю/стимулу. Материал наночастиц выбирают обычно ИЛИ агрегатов наночастиц из проводящего материала, полупроводящего материала, изоляционного материала с диэлектрической константой равной ИЛИ выше 200, ε<sub>iik</sub>. изоляционного материала с диэлектрической константой  $\epsilon_{\text{iik}}$ , равной или ниже 100.

В типовом аспекте, описанная наночастица или агрегат наночастиц предназначен для применения в/для улучшения физических свойств или в/для улучшения когнитивных свойств, т.е. обучения, памяти, чувственного восприятия, внимания и/или принятия решений у субъекта.

Например, большинство исследований за последнее столетие показали, что ни один из участников не может решить проблему с девятью точками, которая состоит в соединении девяти четырьмя прямыми линиями, нарисованными без отрыва ручки бумаги или повторного выполнения линии. Chi et al. показали, что применение ТКМП (прямой ток 1,6 мА с определенной конфигурацией электродов) в течение 10 мин позволяет более 40% участников (из участников) решить проблему (Chi et al., Neuroscience Letters, 2012, 515, 121-124: Brain stimulation enables the solution of an inherently difficult problem). Другой эксперимент МОПИТ проблемы, «арифметикой спичек» попросили исправить ложное арифметическое утверждение, представленное римскими цифрами, построенными из спичек, путем одной спички из одной перемещения позиции В Другую без спички) добавления ИЛИ удаления продемонстрировал облегчение решения проблем благодаря электростимуляции ТКМП (Chi et al., PLOS One, 2011, 6(2), e16655: Facilitate insight by noninvasive brain stimulation).

Улучшение двигательной функции, которое затем приводит к улучшению физических способностей, является одной из увлекательных областей применения улучшения функциональности мозга. Стимулируя определенные области двигательной области коры людей было продемонстрировано головного мозга, у мелкой моторики, а также модулирование общих двигательных свойств, таких как утомляемость и чувствительность. Vines et al. и Cuypers et al. показали улучшенные моторные навыки и моторное обучение, используя ТКМП и задачу касания пальцем. В исследовании Vines, участники должны сопоставить на экране с клавишами на клавиатуре, где каждая клавиша назначена пальцу. Участники, получившие определенному двухполушарную стимуляцию, были быстрее и точнее при выполнении задачи, давали больше ответов и большую долю правильных ответов по сравнению с получавшими однополушарную или симулированную участниками, стимуляцию (Vines et al., BMC Neuroscience, 2008, 9, 103, 1-7: Dual-hemisphere tDCS facilitates greater improvements healthy subjects' non-dominant hand compared to uni-hemisphere stimulation). Cuypers et al. применяли подобный протокол для тестирования того, как повышенная стимуляция (1,5 мА к 1 мА) влияет на усвоение двигательных навыков. Здесь исследователи повторили открытия Vines et al. показывая, что повышенная стимуляция дает дальнейшее улучшение скорости и точности при выполнении задачи (Cuypers et al., PLOS One, 2013, 8(6), e67344: Is motor learning mediated by tDCS intensity?).

Таким образом, электрическая стимуляция описывается в данном документе как средство для улучшения, увеличения или расширения физических характеристик/способностей, в частности, при спортивных тренировках (Banissy et al., Frontiers in Human Neuroscience, 2013, 7(129), 1-3: Transcranial direct current stimulation in sports training: potential approaches).

#### ЭЛЕКТРОСТИМУЛЯЦИЯ

В контексте изобретения, электрическое поле предпочтительно применяют через транскраниальную электростимуляцию или транскраниальную магнитную стимуляцию.

Если необходимо достигнуть коры головного мозга, электростимуляция выполняется на поверхности (глубина проникновения электрического поля обычно равна или ниже 2 см под

ифп применении определенной поверхностью кожи; методики, транскраниальной магнитной стимуляции, катушки определенные электрическое поле может достигнуть глубины 5 см). Методики, обеспечивающие такое электрическое поле, включают (TMC), транскраниальную магнитную стимуляцию периодическую транскраниальную магнитную стимуляцию (пТМС), транскраниальную микрополяризацию (ТКМП), транскраниальную микрополяризацию  $(BP-TKM\Pi)$ , высоким разрешением транскраниальную электростимуляцию (ТЭС), транскраниальную стимуляцию переменным (TCTT), транскраниальную стимуляцию импульсным (TCNT) транскраниальную стимуляцию беспорядочными шумами переменный ток вместе с беспорядочной амплитудой (тСБШ; частотой). Наиболее широко применяемыми В клинических исследованиях И предпочтительными в контексте изобретения являются ТМС и ТКМП.

#### Транскраниальная магнитная стимуляция (ТМС)

Транскраниальная магнитная стимуляция (ТМС) является неинвазивной методикой, которую применяют или исследуют множестве исследовательских И терапевтических областей применения, включая изучение нормальных и патологических функций мозга и лечение нервных расстройств, и которую применяют контексте изобретения. В ТМС применяют краткие интенсивные импульсы электрического тока, подаваемые на катушку, помещенную на голову субъекта для создания электрического поля в мозге через электромагнитную индукцию. Индуцированное электрическое поле модулирует нейронные трансмембранные потенциалы и, самым, нейронную активность. Месторасположение активации в мозге находится приблизительно В области, где индуцированное электрическое поле является максимальным; это месторасположение, в свою очередь, зависит от геометрии и размещения стимулирующей катушки. Интерес представляют две пространственные особенности электрического поля: глубина проникновения и очаговость, которые зависят от геометрии катушки и легко определяются специалистом.

#### Транскраниальная микрополяризация (ТКМП)

Транскраниальная микрополяризация (ТКМП) является неинвазивной методикой, применяемой в контексте изобретения, где

стимуляцию мозга проводят благодаря прямому току, приводящему к корковой В возбудимости. ТКМП низкоинтенсивный (0,5-2 мА) постоянный ток, который применяют непосредственно к голове через два электрода (анод/катод) обычно 20-35 см<sup>2</sup>. Один электрод (ссылочный электрод) может быть помещен на лоб (выше надбровной дуги) и другой (активный электрод) может противоположное полушарие, быть помещен на обычно над область двигательную коры головного мозга (M1)или дорзолатеральную префронтальную кору, в зависимости от дизайна. Длительность стимуляции наиболее часто варьируется от 20 до 40 Часть тока проникает В MOST, образуя электрическое поле приблизительно 0,3 В/м на 1 мА применяемый. электрическое поле, создаваемое ВО время модифицирует трансмембранный нейронный потенциал и может влиять на уровень возбудимости и чувствительности к синаптическому и модулирует частоту пульсации отдельных нейронов. входу, Повышенная возбудимость возникает при анодной стимуляции, пониженная возбудимость обычно возникает при катодной стимуляции.

#### наночастицы

Описана наночастица или агрегат наночастиц для применения в соответствии с данным изобретением в/для улучшении деятельности профилактики или лечения/для применения ДЛЯ профилактике или лечении патологического стресса или, по крайней его симптома, У субъекта, если наночастица или агрегат наночастиц подвергается воздействию электрического поля, где материал наночастиц или агрегатов наночастиц обычно выбирают  $\mathbb{E}\mathbb{N}$ проводящего материала, материала, изоляционного материала полупроводящего диэлектрической константой  $oldsymbol{arepsilon}_{ exttt{ijk}}$  . равной или выше изоляционного материала с диэлектрической константой  $\epsilon_{\text{ijk}}$ , равной или ниже 100.

#### Композиция наночастиц

Наночастица, получаемая из проводящего материала
Наночастица, полученная из проводящего материала является

органической наночастицей или неорганической наночастицей.

Неорганическую наночастицу, полученную из проводящего материала, обычно получают с металлическим элементом, имеющим значение стандартного восстановительного потенциала  $E^{\circ}$  равное или выше около 0,01, обычно измеренное при 25°C и давлении 1 атм. относительно стандартного водородного электрода (см. таблицу 2 "реакции восстановления, имеющие значения  $E^{\circ}$  более положительное, чем значение стандартного водородного электрода ", 8-25, Handbook of chemistry and physics; David R. Lide; 88th Edition), более предпочтительно, равное или выше около 0,1, 0,2, 0,4 или 0,5. Обычные металлические элементы, применяемые для получения наночастиц, могут быть выбраны из T1, Po, Ag, Pd, Ir, Pt, Au и их смеси. Предпочтительно, металлический элемент, применяемый в качестве проводящего материала для получения наночастиц, выбирают из T1, Pd, Pt, Au и их смеси.

Органические наночастицы, полученные ИЗ проводящего материала, обычно получают с органическим материалом, имеющим соседние sp2 гибридизированные углеродные центры в структуре (т.е. углеродную двойную связь или ароматические содержащие гетероатомы, обычно N или S, в ароматическом цикле или вне ароматического цикла). Предпочтительные органические материалы выбирают из полианилина, полипиррола, полиацетилена, политиофена, поликарбазола, полипирена, поли (3, 4этилендиокситиофен) и/или поли (3,4этилендиокситиофен) полистиролсульфоната.

Наночастицы, полученные из полупроводящего материала

Наночастица, полученная из полупроводящего материала, обычно является неорганической наночастицей.

Неорганические наночастицы обычно получают с полупроводящим материалом, представляющим сравнительно небольшую энергию запрещенной зоны (Ед) между валентной зоной и йонов проводимости. Обычно полупроводящий материал имеет запрещенную зону Ед ниже 3,0 эВ, обычно измеренную при комнатной температуре (25°C). В конкретном аспекте, материал является внутренним полупроводящим материалом или внешним полупроводящим материалом,

как дополнительно описано ниже.

Внутренние полупроводящие материалы обычно состоят из элемента группы IVA периодической таблицы Менделеева, такого как кремний (Si) или германий (Ge), в смешанной композиции элементов из групп III и V периодической таблицы Менделеева, таких как AlSb, AlN, GaP, GaN, InP, InN, и т.д., или в смешанной композиции элементов из групп II и VI периодической таблицы Менделеева, таких как ZnSe, ZnTe, CdTe, и т.д.

Внешние полупроводящие материалы обычно содержат ИЛИ состоят из внутреннего полупроводника, полученного с высокой степенью химической чистоты, где внутренний полупроводящий материал содержит легирующую добавку. В конкретном аспекте, если внешний полупроводящий материал наночастицы ИЛИ наночастиц состоит из элемента из группы IVA периодической таблицы Менделеева, его легируют носителем заряда, выбранным из Al, B, Ga, In и Р. Такие внешние полупроводящие материалы могут быть либо о-типа, в котором доминируют носители отрицательного заряда или п-типа, в котором доминируют носители положительного заряда. Типовой внешний полупроводящий материал п-типа состоит из кремния (Si) или германия (Ge), легированного заряженным носителем, выбранным из алюминия (Al), бора (B), галлия (Ga) и индия (In); типовой внешний полупроводящий материал п-типа состоит из кремния (Si) или германия (Ge), обычно легированного фосфором (Р).

Наночастицы, полученные из изолирующего материала, имеющего высокую относительную диэлектрическую константу (относительную диэлектрическую проницаемость), т.е. равную или выше 200

Наночастицы, полученные из, или состоящие из, изолирующего материала, имеющего запрещенную зону Eg равную или выше 3,0 эВ, обычно измеренную при комнатной температуре (25°C) и высокой относительной диэлектрической константе  $\mathbf{\epsilon}_{ijk}$  (также называемой относительная диэлектрическая проницаемость), обычно получают с материалом, имеющим относительную диэлектрическую константу  $\mathbf{\epsilon}_{ijk}$  равную или выше 200, которую обычно измеряют при температуре от 20°C до 30°C и от  $10^2$  Гц вплоть до инфракрасной частоты (см.,

например, таблицу 12-45 "Диэлектрическая проницаемость (диэлектрическая константа) неорганического твердого вещества"; Handbook of chemistry and physics; David R. Lide; 88th Edition; Compilation of the static dielectric constant of inorganic solid. K.F. Young and H.P.R. Frederikse. J. Phys. Chem. Ref. Data, Vol. 2, No. 2, 1973).

Такие наночастицы обычно получают с диэлектрическим материалом, который является смешанным оксидом металла, предпочтительно выбранным из  $BaTiO_3$ ,  $KTaNbO_3$ ,  $KTaO_3$ ,  $SrTiO_3$ ,  $BaSrTiO_3$ , и т.д.

Наночастицы, полученные из изолирующего материала, имеющего низкую относительную диэлектрическую константу (относительную диэлектрическую проницаемость), т.е. равную или ниже 100

Наночастицы, полученные из, или состоящие из, изолирующего материала, имеющего низкую диэлектрическую константу, обычно получают из материала, имеющего запрещенную зону Eg равную или выше 3,0 эВ, обычно измеренную при комнатной температуре (25°C) и относительной диэлектрической константе  $\varepsilon_{ijk}$ , равной или ниже 100, которую обычно измеряют при температуре от 20°C до 30°C и от  $10^2$  Гц вплоть до инфракрасной частоты (см., например, таблицу 12-45 "Диэлектрическая проницаемость (диэлектрическая константа) неорганического твердого вещества"; Handbook of chemistry and physics; David R. Lide;  $88^{th}$  Edition; Compilation of the static dielectric constant of inorganic solid. K.F. Young and H.P.R. Frederikse. J. Phys. Chem. Ref. Data, Vol. 2, No. 2, 1973).

Такие наночастицы обычно получают с диэлектрическим материалом, который выбирают из оксида металла, смешанного оксида металла, металлический элемент которого относится к периоду 3, 5 или 6 периодической таблицы Менделеева или лантаноиду, и углеродного материала. Диэлектрический материал предпочтительно выбирают из  $Al_2O_3$ ,  $LaAlO_3$ ,  $La_2O_3$ ,  $CeO_2$ ,  $SiO_2$ ,  $SnO_2$ ,  $Ta_2O_5$ ,  $ZrO_2$ ,  $HfO_2$ ,  $Y_2O_3$  и алмазного углерода.

#### Форма наночастицы или агрегата наночастиц

Так как форма частицы или агрегата может влиять на ее "биосовместимость", предпочтительна частица или агрегат, имеющая

довольно однородную форму. По фармакокинетическим причинам, предпочтительны наночастицы иди агрегаты, которые являются по существу сферическими, круглыми или яйцеобразными по форме. Такая форма также благоприятствует взаимодействию наночастицы или агрегата с клеткой или поглощению клетками. Особенно предпочтительна сферическая или круглая форма.

 $\Phi$ орму наночастицы или агрегата наночастиц обычно оценивают с применением просвечивающей электронной микроскопии (ПЭМ).

## Величина или размер наночастицы или агрегата наночастиц

В духе изобретения, термины «наночастица» или «агрегат наночастиц» относятся к продукту, в частности, к синтетическому продукту с размером в нанометровом диапазоне, обычно от 1 нм до 500 нм.

Термин «агрегат наночастиц» или «наночастичный агрегат» относится к совокупности наночастиц, сильно, обычно ковалентно связанных друг с другом.

Просвечивающая электронная микроскопия (MCII) тэжом применяться для измерения размера наночастицы или агрегата наночастиц. Также динамическое светорассеяние (ДСР) может применяться для измерения гидродинамического диаметра наночастиц или агрегата наночастиц в растворе. Эти два метода также могут применяться друг за другом для сравнения измерений размера и подтверждения указанного размера. Предпочтительным является ДСР (Ref. International Standard ISO22412 Particle Size Analysis- Dynamic Light Scattering, International Organisation Standardisation (ISO)2008), тогда как гидродинамический диаметр наночастицы или агрегата наночастиц в растворе дан по интенсивности.

Как правило, самая большая величина или размер является диаметром наночастицы круглой или сферической формы или самой большой длиной наночастицы яйцевидной или овальной формы.

Наибольшая величина наночастицы или агрегата, определенного здесь, обычно составляет от около 2 нм до около 250 нм, предпочтительно, от около 4 или 10 нм до около 100 нм или около 200 нм, даже более предпочтительно, от около 10 нм до около 150 нм.

#### Биосовместимое покрытие наночастиц или агрегатов наночастиц

предпочтительном варианте, наночастица ИЛИ наночастиц, применяемый в контексте данного изобретения получения заявляемой композиции, может быть покрыт биосовместимым материалом, выбранным из агента, обладающего малозаметности. Агентом, обладающим свойством свойством малозаметности, быть агент, представляющий тежом пространственную группу. Такая группа может быть выбрана, например, ИЗ полиакрилата; полиакриламида (поли (Nизопропилакриламида)); поликарбамида; биополимера; полисахарида, ксилан; и как декстран или коллагена. предпочтительном варианте, наночастицы или агрегаты наночастиц покрыты биосовместимым материалом, выбранным агента, позволяющего взаимодействие с биологической целью. Такой агент обычно может придавать положительный или отрицательный заряд поверхности наночастицы или агрегата наночастиц. Агентом, формирующим положительный заряд поверхности наночастицы агрегаты наночастиц, может быть аминопропилтриэтоксисилан или полилизин. Агентом, формирующим отрицательный заряд поверхности наночастицы или агрегаты наночастиц, может быть, например, фосфат (например, полифосфат, метафосфат, пирофосфат и т.д.), (например, цитрат или дикарбоновая кислота, карбоксилат частности, янтарная кислота) или сульфат.

предпочтительном варианте, наночастица или агрегат используемые в контексте настоящего изобретения, представляют гидрофильный нейтральный поверхностный заряд или покрыты биосовместимым материалом (т. е. покрывающим агентом), гидрофильного выбранным ИЗ агента, придающего наночастице нейтральный поверхностный заряд. Действительно, когда наночастицы в соответствии С данным изобретением вводят субъекту, наночастицы, представляющие гидрофильный нейтральный поверхностный заряд, или наночастицы, покрытые биосовместимым агентом, выбранным ВN гидрофильного агента, придающего нейтральный поверхностный заряд наночастицам, особенно подходят оптимизации применения описанных здесь наночастиц воздействии электрического стимула/поля.

Гидрофильным агентом, придающим нейтральный поверхностный заряд наночастицам или агрегатам наночастиц, может быть агент, демонстрирующий функциональную группу, выбранную из спирта (R-OH), альдегида (R-COH), кетона (R-CO-R), сложного эфира (R-(R-SH), сахарида COOR), кислоты (R-COOH), тиола (ГЛЮКОЗЫ, например), ангидрида (RCOOOC-R)и рибозы, Гидрофильным агентом, придающим нейтральный поверхностный заряд наночастицам или агрегатам наночастиц, может быть димер, олигомер, полимер или сополимер. Если агентом является олигомер, он может быть олигосахаридом, таким как циклодекстрин. Если агентом является полимер, он может быть сложным полиэфиром поли (молочная кислота) или полигилроксиалкановая (таким как , модифеикоп кислота), простым полиэтиленоксидом, полиэтиленгликолем, ПОЛИВИНИЛОВЫМ спиртом, поликапролактоном, поливинилпирролидоном, полисахаридом, таким как целлюлоза, полипирролом и т.д.

Кроме того, гидрофильным агентом, придающим нейтральный поверхностный заряд наночастицам или агрегатам наночастиц, может быть агент, демонстрирующий определенные группы (R-), способные взаимодействовать с поверхностью наночастицы или агрегата наночастиц. R обычно выбирают из тиола, силана, карбоновой и фосфатной группы.

Когда наночастица или агрегат наночастиць является проводником или полупроводником и металлической наночастицей, R предпочтительно является тиолом, тиоэфиром, дитиоланом или карбоксильной группой. Предпочтительно, гидрофильный нейтральный агент выбирают из тиоглюкозы, 2-меркаптоэтанола, 1-тиоглицерина, тиогликоля и гидроксимасляной кислоты.

Когда наночастица или агрегат наночастиц является изолятором и наночастицей из оксида или смешанного оксида, R предпочтительно является силаном или фосфатной группой. Предпочтительно, гидрофильным нейтральным покрывающим агентом является гидроксиметилтриэтоксисилан, соединение фруктозы 6-фосфата или глюкозы 6-фосфата.

Гидрофильным агентом, придающим нейтральный поверхностный заряд наночастице или агрегату наночастиц, может быть

цвиттерионное соединение, такое как аминокислота, пептид, полипептид, витамин или фосфолипид.

Поверхностный заряд наночастицы или агрегата наночастиц обычно определяют, как хорошо известно специалисту в данной области техники, измерениями зета потенциала, обычно в воде для наночастиц с концентрацией от 0,2 до 10 г/л, для рН от 6 до 8, и обычно добавлением электролитов в концентрациях в воде от 0,001 до 0,2 М, например, 0,01 М или 0,15 М. В указанных выше определенных условиях, поверхностный заряд наночастицы или агрегата наночастиц обычно составляет от -10 мВ до +10 мВ (соответствует нейтральному поверхностному заряду), от -20 мВ до +20 мВ или от -35 мВ до +35 мВ.

Полное биосовместимое покрытие наночастицы или агрегата может быть предпочтительным в контексте данного изобретения, для того, чтобы избежать любого электрического заряда на поверхности наночастиц, когда наночастицы представляют гидрофильный нейтральный поверхностный заряд. "Полное покрытие" подразумевает присутствие очень высокой плотности/компактности биосовместимых молекул, способных создавать, по крайней мере, полный монослой на поверхности частицы.

Биосовместимое покрытие обеспечивает, в частности, стабильность наночастиц в жидкости, такой как физиологическая жидкость (кровь, плазма, сыворотка и т. д.) или любой изотонической среде или физиологической среде, необходимой для фармацевтического введения.

Стабильность может быть подтверждена количественным определением сухого экстракта с использованием сушильной печи и измерением на суспензии наночастиц до и после фильтрации, обычно на фильтре 0,45 мкм.

Преимущественно, покрытие сохраняет целостность частицы in vivo, обеспечивает или улучшает ее биосовместимость и облегчает ее необязательную функционализацию (например, со спейсерными молекулами, биосовместимыми полимерами, целевыми агентами, белками и т. д.).

Биосовместимая наночастица или агрегат наночастиц в

соответствии с данным изобретением не должны ни растворять и высвобождать токсичные вещества после введения  $in\ vivo$  (то есть, при физиологическом pH), ни показывать окислительновосстановительное поведение в отсутствие электростимуляции.

Другой описанный здесь конкретный объект относится к композиции, в частности, фармацевтической композиции, содержащей наночастицы и/или агрегаты наночастиц, такие, как определены выше, предпочтительно вместе с фармацевтически приемлемым носителем или наполнителем.

В частности, здесь описана композиция для применения в/для улучшения деятельности мозга или для профилактики или лечения/для применения В профилактике ИЛИ лечении автологического стресса или, ПО крайней мере, одного симптома, у субъекта, подвергающегося воздействию электрического поля/стимула, где композиция содержит или состоит из наночастиц фармацевтически приемлемой и/или агрегатов наночастиц И подложки, и где материал наночастиц или агрегатов наночастиц выбирают из проводящего материала, полупроводящего обычно материала, изолирующего материала с диэлектрической константой 200, и изолирующего материала  $oldsymbol{arepsilon}_{ exttt{ijk}}$  равной или выше диэлектрической константой  $\epsilon_{\text{ijk}}$  равной или ниже 100.

В предпочтительном аспекте, композиция содержит, или состоит из, по крайней мере, двух различных наночастиц и/или агрегатов наночастиц, где каждая наночастица или агрегат наночастиц состоит из отдельного материала, обычно выбранного из проводящего материала, полупроводящего материала, изолирующего материала с диэлектрической константой  $\epsilon_{ijk}$  равной или выше 200, и изолирующего материала с диэлектрической константой  $\epsilon_{ijk}$  равной или ниже 100.

Композиция может быть в форме твердого вещества, жидкости (частицы в суспензии), аэрозоля, геля, пасты и подобных. Предпочтительные композиции находятся в жидкой или гелевой форме. Особенно предпочтительная композиция находятся в жидкой форме.

Применяемой фармацевтически приемлемой подложкой или

носителем может быть любая классическая подложка для специалиста в данной области техники, например, физиологический раствор, изотонический, стерильный, буферный раствор, раствор не водного носителя и подобные.

Композиция также может содержать стабилизаторы, подсластители, поверхностно-активные вещества, полимеры и полобные.

Она может быть составлена, например, в виде ампулы, аэрозоля, бутылки, таблетки, капсулы, с применением методик получения фармацевтического состава, известным специалисту в данной области техники.

Наночастицы или агрегат наночастиц в соответствии с данным изобретением может вводиться субъекту с применением различных возможных путей, таких как внутричерепной, внутривенный (ВВ), через дыхательные ПУТИ (ингаляцией), интратекальный, пероральный интраокулярный или ПУТЬ (через poT), предпочтительно, с внутричерепного применением или интратекального.

Если необходимо, могут проводиться повторные инъекции или введения наночастиц или агрегатов.

Описанные здесь наночастицы, агрегаты наночастиц и композиции, содержащие такие наночастицы или агрегаты наночастиц, предназначены для применения у субъекта, обычно для применения у животного, предпочтительно у млекопитающего, еще более предпочтительно у человека независимо от его возраста или пола.

Типовые количества наночастиц или агрегатов наночастиц, вводимые в кору головного мозга, гиппокамп или миндалину, составляет от  $10^5$  до  $10^{15}$ , предпочтительно, от  $10^7$  до  $10^{14}$ , более предпочтительно, от  $10^9$  до  $10^{12}$ . Также типовые количества наночастиц или агрегатов наночастиц, вводимые в кору головного мозга, гиппокамп или миндалину субъекта, составляют от  $10^2$  до  $10^{12}$  наночастиц или агрегатов наночастиц на см $^3$ .

В контексте изобретения, воздействие на наночастицы или агрегаты наночастиц электрического поля/стимула эквивалентно воздействию на субъекта, которому вводят наночастицы или

агрегаты наночастиц, электрического поля/стимула.

Также описан способ улучшения деятельности мозга у субъекта и способ лечения патологического стресса или, по крайней мере, одного его симптома у субъекта, где каждый способ включает стадию введения любых из описанных здесь наночастиц или агрегатов наночастиц субъекту и стадию воздействия на такого субъекта электрического поля/стимула.

Другой описанный здесь объект относится к набору, содержащему, по крайней мере, две разных наночастицы и/или агрегата наночастиц, описанных здесть, где каждая наночастица или агрегат наночастиц состоит из разного материала, обычно выбранного из проводящего материала, полупроводящего материала, изолирующего материала с диэлектрической константой  $\epsilon_{ijk}$  равной или выше 200, и изолирующего материала с диэлектрической константой  $\epsilon_{ijk}$  равной константой  $\epsilon_{ijk}$  равной или ниже 100, как описано здесь.

В конкретном варианте, набор содержит, в отдельных контейнерах, отдельные наночастицы и/или агрегаты наночастиц, описанные здесь (которые предназначены для контакта, обычно смешивания, либо  $in\ situ$ , т.е. на целевом месте, либо  $in\ vitro$  или ех vivo до помещения смеси на целевое место).

Также здесь описано применение, in vivo, in vitro или ex vivo, такого набора в способе, описанном здесь, улучшения деятельности/способностей мозга у субъекта, обычно для улучшения эффективных связей в нейронной сети и, таким образом, возможности памяти нейронной сети у субъекта, или в способе профилактики или лечения патологического стресса или, по крайней мере, одного его симптома, у субъекта, нуждающегося в таковом. описанный Также описан набор, здесь, для применения профилактике или лечении патологического стресса или, по крайней мере, одного его симптома, у субъекта.

Настоящее изобретение направлено, в частности, на повышение деятельности мозга благодаря использованию наночастиц или агрегатов наночастиц, подвергающихся воздействию электрического стимула/поля.

Наночастицы или агрегаты наночастиц в соответствии с данным

изобретением, когда они подвергаются воздействию электрического стимула/поля, предназначены для использования в/для повышения деятельности/способностей мозга, ИЛИ для профилактики лечения/для использования В профилактике ИЛИ лечении патологического стресса или, по крайней мере, одного ero симптома у субъекта, нуждающегося в таком лечении, локального увеличения ингибирующего эффекта, вызванного катодной стимуляцией через применение одного типа наночастиц "NP1" (т.е. изолирующих наночастиц) и/или локального увеличения локального возбуждающего действия, увеличения вызванного стимуляцией посредством использования наночастиц другого типа "NP2" (т.е. проводниковых или полупроводниковых наночастиц) [см. фигуру 4-а): местное повышение ингибирующего действия наночастицами "NP1", 4-b) местное повышение возбуждающего "NP2", 4-c): местное повышение действия наночастицами ингибирующего действия наночастицами "NP1" и местное повышение возбуждающего действия наночастицами "NP2"].

В конкретном аспекте, наночастица или агрегат наночастиц, описанные здесь, предназначены для применения в способе в/или улучшения физический свойств и в/для улучшения обучения, запоминания, чувственного восприятия, внимания и/или принятия решений субъектом, нуждающимся в таком лечении.

у мышей, надежные грызунов, обычно доказательства психометрического интеллекта могут быть получены при тестировании батарей, включающих различные задачи. Эти тесты обычно включают учебные задачи, такие как распознавание запахов или пространственная навигация. Учебный тест связан с сенсорным, двигательным или мотивационным требованием, предъявляемым K для оценки мышления у мышей животному. Например, может применяться тест на основе концепции «быстрого картирования» For instance, to assess reasoning in mice, a T9Ct based on the concept of "быстрого схватывания, запоминания и усвоения" (Carey al., Proceedings of the Standford Child Conference., 1978, 15, 17-29: Acquiring a single new word), для оценки задачи на внимание у мышей может применяться "Струп-тест у

мышей", и для оценки эффективности рабочей памяти или объема рабочей памяти у мышей может применяться анализ "радиального восьмирукавного лабиринта" (Matzel L.D et al. Current Directions in Psychological Science, 2013, 22(5), 342-348: The architecture of intelligence. Converging evidence from studies of humans and animals).

ΙO тест может применяться для оценки ДЛЯ возможностей памяти у человека. IQ тесты, такие как матрица Равена или шкала интеллекта взрослых Векслера, хорошо известны специалисту в данной области техники и обычно применяются для оценки возможностей рабочей памяти у человека. Словесно-цветовой тест Струпа на интерференцию (Stroop JR, Journal of Experimental Psychology, 1935, 18, 643-652: Studies of interference in serial verbal reactions) также может применяться у человека прогнозирования общего интеллекта (Huang L, et al., Journal of Experimental Psychology: Human Perception and Performance, 2012, 38, 414-428: Measuring the interrelations among multiple individual paradigms of visual attention: differences an approach).

В другом конкретном аспекте, наночастица или агрегат наночастиц, описанные в настоящем документе, предназначены для профилактики или лечения/для использования в профилактике или лечении субъекта путем усиления нервных/нейронных связей, функциональной межнейрональной связи и/или синаптической пластичности в головном мозге субъекта, нуждающегося в таком лечении.

В типовом аспекте, описанные здесь наночастица или агрегат наночастиц предназначены для профилактики или лечения/для использования в профилактике или лечении субъекта, страдающего измененной функциональной активностью мозга.

В другом конкретном аспекте, описанные здесь наночастица или агрегат наночастиц предназначены для профилактики или лечения/для использования в профилактике или лечении субъекта, страдающего патологическим стрессом или, по крайней мере, одним из его симптомов, в частности, от хронического стресса. Все

живые организмы стремятся к динамическому равновесию, которое называется гомеостазом. Этому равновесию угрожают определенные психологические события. Интерфейс физические И поступающей сенсорной информацией и процессом оценки формируется структурами мозга, которые включают гиппокамп, лимбическими префронтальную кору. Различные ситуации миндалину вызвать стресс, например, новизна, неуверенность, разочарование, конфликт, страх, боль И т. Д. Постоянное воздействие неблагоприятной окружающей среды, включая раздражители, как шум, загрязнение окружающей среды и межличностные конфликты, также может вызывать стресс.

Патологический стресс, возникающий в результате таких кумулятивных и/или повторяющихся ситуаций, изменяет структуру (морфологию) и/или связи и/или функциональные свойства клеток мозга. Как следствие, патологический стресс оказывает серьезное влияние на здоровье и ограничивает качество жизни человека.

Неконтролируемый стресс тэжом иметь неблагоприятные последствия и вызывать симптомы, включая ухудшение способности к обучению и памяти. При умеренном уровне некоторые нейрохимические системы (например, crpecca, катехоламины, глюкокортикоиды) могут влиять на обучение. По мере стресса (no продолжительности увеличения уровня интенсивности) в гиппокампе наблюдаются некоторые временные и постоянные изменения, включая модификации В синаптической пластичности, клеточные морфологические изменения, подавление нейрогенеза у взрослых и/или деструкцию или атрофию нейронов изменения описаны здесь как симптомы патологического стресса). Эти связанные со стрессом изменения в мозге влияют на процессы обучения и памяти. Действительно, гиппокамп, миндалина префронтальная кора подвергаются стресс-индуцированному TΛ структурному ремоделированию, которое изменяет поведенческие и физиологические реакции. Хронический стресс вызывает атрофию нейронов в гиппокампе и префронтальной коре, а также в областях В мозга, вовлеченных память, селективное внимание И исполнительную функцию, и вызывает гипертрофию нейронов миндалине, области мозга, вовлеченной в страх и агрессивность.

Способность учиться, запоминать и принимать решения может быть поставлена под угрозу и, как правило, снижается вследствие хронического стресса, и может сопровождаться повышенной агрессивностью.

Обширные наблюдения электрофизиологических исследований in vitro и in vivo последовательно показывают, что стресс и гормоны стресса ухудшают долгосрочное потенцирование (ДП).

МНОГО Существует фармацевтических средств, таких как снотворные лекарства, транквилизаторы и бета-блокаторы, которые противодействуют некоторым проблемам, связанным с патологическим нахождением в состоянии стресса. Аналогичным образом, лекарства, которые уменьшают окислительный стресс или воспаление, блокируют абсорбцию холестерина ИЛИ И лечат резистентность или хроническую боль, могут помочь справиться с метаболическими и неврологическими последствиями нахождения в патологического стресса». «СОСТОЯНИИ Все ЭТИ лекарственные средства ценны до некоторой степени, но, к сожалению, у каждого есть свои побочные эффекты и ограничения (Kim J.J. et al. Nature Neuroscience, 2002, 3, 453-462**:** TheReviews stressed hippocampus, synaptic plasticity and lost memories; McEwen B.X. Physiological Review, 2007, 87, 873-904: Physiology neurobiology of stress and adaptation: central role of brain). Описанные здесь наночастицы теперь могут преимущественно использоваться для лечения субъекта, страдающего от патологического стресса, в частности, от хронического стресса, субъекта, имеющего MOSF, в котором были обнаружены связанные со стрессом изменения, как описано здесь выше.

Термин «лечение» относится к терапевтическому лечению или мерам, способным предотвратить, ослабить или патологический стресс или его симптом, как описано здесь выше, в частности, хронический стресс. Такое лечение предназначено для млекопитающего субъекта, предпочтительно, человека, нуждающегося Считается, что таковыми являются субъекты, идентифицированные (диагностированные) как страдающие патологическим стрессом, как описано здесь, ИЛИ субъекты, которые считаются «подверженными риску развития»

патологического стресса, для которых лечение является превентивным или профилактическим лечением. Конкретными субъектами, страдающими патологическим стрессом, являются субъекты, которым назначают препарат, выбранный из снотворного, транквилизатора и бета-блокатора.

Следующие примеры и соответствующие им фигуры иллюстрируют изобретение, не ограничивая его объем.

#### ЧЕРТЕЖИ

- фигура 1. Модулирование корковой возбудимости через ТКМП: а) схема пирамидального коркового нейрона; b) анодная стимуляция.
- **Фигура 2.** Разная установка электродов для транскраниальной микрополяризации (ТКМП).
- **Фигура 3.** Ингибирующее и возбуждающее действие электростимуляции (ТКМП).
- Фигура 4. а): местное увеличение ингибирующего действия с наночастицами "NP1", b) местное увеличение ингибирующего действия с наночастицами "NP2", c): местное увеличение возбуждающего действия с наночастицами "NP1" и местное увеличение возбуждающего действия с наночастицами "NP2"; где NP2 является проводником или полупроводником и NP1 является изолятором.
- фигура 5. Экспериментальная схема культур нейронов, находящихся под воздействием низкочастотной стимуляции (НЧС) на стадии і) и стадии іі), с или без промежуточной стадии і') высокочастотной стимуляции (ВЧС).

Культуры лобной доли мыши готовят из эмбрионов мышей NMRI на 15/16 день и культивируют на 48-луночных MEA в течение 26 дней (период культивации; нативная фаза). Культуры обрабатывают в течение 2 дней суспензиями наночастиц (группы "Наночастицы") или водой (группа "контроль"). Через 2 дня инкубирования активность записывают в течение 2 часов (запись "Пре-стим"). Запись продолжают в две отдельные стадии (стадии і) и іі)) или три отдельные стадии (стадии і), і') и іі)) в следующем порядке: фаза низкочастотной стимуляции (НЧС-1) в течение 30 минут (стадия і)), необязательно, фаза промежуточной тетатической

стимуляции (высокочастотная, ВЧС) в течение 5 минут (стадия i')) и фаза низкочастотной стимуляции (НЧС-2) в течение 90 минут (стадия ii)). После нативной фазы, два активных электрода идентифицируют на лунку и выбирают для стимуляции. Один из них стимулируют НЧС на стадиях i) и ii), и оба электрода стимулируют ВЧС на стадии i') при проведении. Запись проводят во время стадии i) (значения получают из 60 секунд сгруппированных данных, полученных из 30 минутного периода) и стадии ii) (значения получают из 60 секунд сгруппированных данных, полученных из 30 минутного периода после 60 минутной НЧС).

Фигура 6. Схема двух упрощенных вспышек, очерчивающих некоторые параметры, которые могут быть получены из электрической активности. Показывают параметры, описывающие общую активность (всплеск, вспышка, интервал между вспышками (ИМВ) и период вспышки) и структуру вспышки (длительность вспышки, плато вспышки, амплитуду вспышки, интервал вспышки между всплесками (ИВМВ) и площадь вспышки). Стандартные отклонения (СО) этих параметров являются показателями регулярности общей активности и структуры вспышки, соответственно. Коэффициент вариаций во времени (КВврем) отражает временное регулирование схемы активности каждой единицы. КВврем рассчитывают отношением стандартного отклонения параметра к среднему. Коэффициент вариаций в сети (КВсеть) отражает синхронизацию нейронов в сети. КВсеть рассчитывают соотношением стандартного отклонения параметра к среднему сети. Большие значения КВсеть означают широкий спектр вариаций активности в сети, означая меньшую синхронизацию.

фигура 7. Функциональные действия группы "Наночастицы" (наночастицы из примера 3) под воздействием высокочастотной стимуляции (ВЧС) по сравнению с группами "Контроль" (без наночастиц/с или без высокочастотной стимуляции) на активность сети лобной доли. Результаты показывают ВЧС-специфическое потенцирование на клеточном уровне в присутствии наночастиц по сравнению с группами "Контроль".

Фигура 8. Функциональные действия группы "Наночастицы"

(наночастицы из примера 1) под воздействием высокочастотной стимуляции (ВЧС) по сравнению с группами "Контроль" (с или без высокочастотной стимуляции) на активность сети лобной доли. Результаты показывают ВЧС-специфическое потенцирование на клеточном уровне в присутствии наночастиц по сравнению с группами "Контроль".

#### ПРИМЕРЫ

Имитация

Имитация может применяться для оценки действия на нейронную сеть(u) наночастиц под воздействием электрического стимула (электрического поля).

In vitro исследования нейронов

На нейронном уровне, методика фиксации потенциала очень полезна для определения потенциалов действия, так как она позволяет одновременное прямое измерение и контроль мембранного потенциала нейрона.

Эту методику применяют для оценки действия наночастиц на одном нейроне.

In vitro исследования сети нейронов

Мультиэлектродные матрицы (МЭМ) позволяют стимулировать и записывать большое количество нейронов (нейронную Диссоциированные нейронные культуры на МЭМ являются упрощенной моделью, В которой активность сети может управляться последовательностями электростимуляции через множество электродов матрицы. Эта методика очень полезна для оценки физиологически релевантных вопросов в сети и клеточных уровнях, что дает лучшее понимание функции и дисфункции мозга.

Диссоциированные нейронные культуры, сопряженные с MEM действительно широко применяются для лучшего понимания сложности сетей. Кроме TOPO, применение диссоциированных мозговых нейронных скоплений помогает манипулировать и контролировать сетевые межнейрональные связи. Применение диссоциированных нейронных культур сопряженных с МЭМ позволяет создавать эксперименты, в которых нейроны могут быть внеклеточно стимулированы с помощью электрических импульсов, доставляемых через одинаковые электроды устройства. Таким образом, становится разумным исследовать то, как появившаяся нейронная динамика может быть модулирована электростимуляцией, и, следовательно, модифицированы ли базовые функциональные межнейрональные связи или нет ( $Poli\ D.$  et al,  $Frontiers\ in\ Neural\ Circuits,\ 2015,\ 9$  ( $article\ 57$ ), 1-14: Functional connectivity in in vitro neuronal assemblies).

неинвазивные долговременные Система MEM позволяет одновременные внеклеточные записи из множества мест в нейронной режиме реального времени, повышая пространственное разрешение и, тем самым, обеспечивая надежное измерение сетевой активности. Одновременный сбор данных потенциала действия потенциала поля в течение длительных периодов времени позволяет сетевые функции, которые возникают NGII взаимодействии всех клеточных механизмов, ответственных за создание пространственно-временного шаблона (Johnstone A. F. M. al., Neurotoxicology (2010), 31: 331-350, Microelectrode arrays: a physiologically based neurotoxicity testing platform  $for the 21^{st}$  century). По сравнению с фиксацией потенциала и других одноэлектродных методик записи, МЭМ измеряет реакцию всей сети, интегрируя глобальную информацию на взаимодействии всех рецепторов, синапсов и нейронных типов, которые присутствуют в (Novellino A. et al., Frontiers in Neuroengineering. (2011), 4(4), 1-14, Development of micro-electrode array based for neurotoxicity: of interlaboratory assessment reproducibility with neuroactive chemicals.). Как записи МЭМ применяются для понимания нейронной коммуникации, кодирования информации, распространения и обработки в нейронных (Taketani, M., et al., (2006). Advances in Network культурах Electrophysiology. New York, NY: Springer; Obien et Frontiers in Neurosciences, 2015, 8(423): Revealing neuronal functions through microelectrode array recordings). Технология фенотипический представляет собой сложный одновременный многопараметрический анализ ДЛЯ исследования активных клеточных культур, которые очень чувствительны нейрогенезу, а также к нейрогенеративным и нейродегенеративным и

аспектам. Более того, известно, что нейронные сети, выращенные на МЭМ, способны реагировать на нейроактивные или нейротоксичные соединения в приблизительно одинаковых интервалах концентрации, которые изменяют функции целых нервных систем млекопитающих (Хіа Alcohol, 2003, 30, 167-174**:** al., Histiotypic electrophysiological responses of cultured neuronal networks to ethanol; Gramowski et al., European Journal of Neuroscience, 2006, 24, 455-465: Functional screening of traditional antidepressants with primary cortical neuronal networks grown on multielectrode neurochips; Gramowski et al., Frontiers Neurology, 2015, 6(158): Enhancement of cortical activity in vitro and promotion of GABAergic neurogenesis by stimulation with an electromagnetic field with 150 MHz carrier wave pulsed with an alternating 10 and 16 Hz modulation).

Эту методику применяют для оценки действия наночастиц на нейронную сеть.

In vivo исследования сети нейронов

Рассматривается подходящая модель на животных для оценки влияния на нейронные сети животных наночастиц в соответствии с данным изобретением при воздействии электрического стимула.

Например, лабиринты используются для изучения пространственного обучения и памяти у крыс. Исследования с использованием лабиринта помогают раскрыть общие принципы обучения, которые можно применять ко многим видам, включая людей. Сегодня лабиринты обычно используются для определения того, влияют ли различные методы лечения или условия на обучение и память у крыс.

# ПРИМЕР 1. Наночастицы, полученные с проводящим материалом: синтев волотых наночастиц, покрытых биосовместимым покрытием, имеющим нейтральный варяд поверхности

Золотые наночастицы синтезируют восстановлением хлорида золота (HAuCl<sub>4</sub>) защитным веществом (цитратом натрия) (протокол адаптируют из G. Frens Nature Physical Science 241 (1973) 21). В типовом эксперименте, раствор  $HAuCl_4$  нагревают до кипения. Затем добавляют раствор цитрата натрия. Полученный раствор выдерживают при кипении в течение дополнительных 5 минут.

Проводят 0,22 мкм фильтрацию (фильтровальная мембрана: поли(эфирсульфон) (ПЭС)) суспензии наночастиц, и концентрацию золота в суспензии определяют УФ-видимой микроскопией при 530 нм.

Покрытые поверхности проводят с применением  $\alpha$ -метокси- $\omega$ -меркаптополи (этиленгликоля) 20 кДа ("тиол-ПЭГ20кДа"). Достаточное количество "тиол-ПЭГ20кДа" добавляют к суспензии наночастиц для достижения, по крайней мере, половины покрытия монослоем (2,5 молекулы/нм²) на поверхности золотой наночастицы. pH доводят от 7 до 7,2, и суспензию наночастиц перемешивают в течение ночи.

Гидродинамический диаметр (параметр в интенсивности) определяют днамическим светорассеянием (ДСР) с применением Nano-Zetasizer (Malvern) при угле светорассеяния  $173^{\circ}$  с испусканием лазера при 633 нм, разведением суспензии наночастиц в воде (конечная концентрация: 0,1 г/л). Полученный таким образом гидродинамический диаметр биосовместимых золотых наночастиц в суспензии равен 118 нм, при коэффициенте полидисперсности (дисперсия популяции наночастиц в размере) 0,13.

Зета потенциал определяют измерением электрофоретической подвижности наночастиц (Nano-Zetasizer, Malvern) разведением суспензии наночастиц в растворе NaCl при 1 мM при рН 7 (конечная концентрация: 0,1 г/л). Зета потенциал при рН 7 равен -1 мВ.

# ПРИМЕР 2. Наночастицы, полученные с проводящим материалом: синтев волотых наночастиц, покрытых биосовместимым покрытием, имеющим отрицательный варяд на поверхности

Золотые наночастицы получают, как описано в примере 1 (та же золотая неорганическая сердцевина).

Проводят 0,22 мкм фильтрацию на ПЭС мембранном фильтре, и концентрацию золота в суспензии определяют УФ-видимой микроскопией при 530 нм.

Биосовместимое покрытие поверхности проводят с применением мезо-2,3-димеркаптоянтарной кислоты (ДМЯК). Достаточное количество ДМЯК добавляют к суспензии наночастиц для достижения, по крайней мере, половины покрытия монослоем (2,5 молекулы/ $\mathrm{H}\mathrm{M}^2$ ) на поверхности золотой наночастицы. pH доводят от 7 до 7,2, и

суспензию наночастиц перемешивают в течение ночи.

Гидродинамический диаметр (параметр в интенсивности) определяют днамическим светорассеянием (ДСР) с применением Nano-Zetasizer (Malvern) при угле светорассеяния 173° с испусканием 633 нм, разведением суспензии наночастиц в воде лазера при (конечная концентрация: 0,1 г/л). Полученный таким гидродинамический диаметр биосовместимых золотых наночастиц в 76 при коэффициенте полидисперсности суспензии равен HM, (дисперсия популяции наночастиц в размере) 0,46.

Зета потенциал определяют измерением электрофоретической подвижности наночастиц (Nano-Zetasizer, Malvern) разведением суспензии наночастиц в растворе NaCl при 1 мM при рН 7 (конечная концентрация: 0,1 г/л). Зета потенциал при рН 7 равен -23 мВ.

ПРИМЕР 3. Наночастицы, полученные с изолирующим материалом, имеющим низкую относительную диэлектрическую констант, равную или ниже 100: синтез наночастиц из оксида циркона, покрытых биосовместимым покрытием, имеющим нейтральный заряд поверхности

Наночастицы оксида циркония  $(ZrO_2)$  синтезируют осаждением хлорида циркония  $(ZrCl_4)$  с гидроксидом тетраметиламмония (TMAOH) при щелочном рН. Полученную суспензию переносят в автоклав и нагревают при температуре выше  $110^{\circ}$ С. После охлаждения суспензию промывают деионизированной водой и подкисляют.

Проводят 0,22 мкм фильтрацию на ПЭС мембранном фильтре и концентрацию наночастиц ( $ZrO_2$ ) определяют сушкой водного раствора в порошок и взвешиванием полученной массы.

Биосовместимое покрытие проводят с применением силанполи (этилен) гликоля 2 кДа ("Si-ПЭГ 2 кДа"). Достаточное 
количество "Si-ПЭГ 2 кДа" добавляют к суспензии наночастиц для 
достижения, по крайней мере, половины покрытия монослоем (2,5 
молекулы/ $\mathrm{H}\mathrm{M}^2$ ) на поверхности. Суспензию наночастиц перемешивают в 
течение ночи и затем рН доводят до 7.

Гидродинамический диаметр (параметр в интенсивности) определяют днамическим светорассеянием (ДСР) с применением Nano-Zetasizer (Malvern) при угле светорассеяния 173° с испусканием лазера при 633 нм, разведением суспензии наночастиц в воде

(конечная концентрация: 0,1 г/л). Полученный таким образом гидродинамический диаметр биосовместимых золотых наночастиц в суспензии равен 55 нм, при коэффициенте полидисперсности (дисперсия популяции наночастиц в размере) 0,1.

Зета потенциал определяют измерением электрофоретической подвижности наночастиц (Nano-Zetasizer, Malvern) разведением суспензии наночастиц в растворе NaCl при 1 мM при рН 7 (конечная концентрация: 0,1 г/л). Зета потенциал при рН 7 равен -1 мВ.

ПРИМЕР 4. Наночастицы, полученные с изолирующим материалом, имеющим низкую относительную диэлектрическую констант, равную или ниже 100: синтез наночастиц из оксида циркона, покрытых биосовместимым покрытием, имеющим отрицательный заряд поверхности

Наночастицы оксида циркония получают, как описано в примере 3 (та же неорганическая сердцевина).

Проводят 0,22 мкм фильтрацию на ПЭС мембранном фильтре и концентрацию наночастиц  $(ZrO_2)$  определяют сушкой водного раствора в порошок и взвешиванием полученной массы.

Функционализацию поверхности проводят с применением гексаметафосфата натрия. Достаточную массу добавляют к суспензии наночастиц для достижения, по крайней мере, половины покрытия монослоем (2,5 молекулы/нм $^2$ ) на поверхности. Суспензию наночастиц перемешивают в течение ночи и затем pH доводят до 7.

Гидродинамический диаметр (параметр В интенсивности) определяют днамическим светорассеянием (ДСР) с применением Nano-Zetasizer (Malvern) при угле светорассеяния 173° с испусканием лазера при 633 нм, разведением суспензии наночастиц в воде (конечная концентрация: 0,1 г/л). Полученный таким гидродинамический диаметр биосовместимых золотых наночастиц в 70 при коэффициенте полидисперсности суспензии равен HM, (дисперсия популяции наночастиц в размере) 0,11.

Зета потенциал определяют измерением электрофоретической подвижности наночастиц (Nano-Zetasizer, Malvern) разведением суспензии наночастиц в растворе NaCl при 1 мM при рН 7 (конечная концентрация: 0,1 г/л). Зета потенциал при рН 7 равен -33 мВ.

ПРИМЕР 5. Наночастицы, полученные с полупроводящим материалом: кремниевые наночастицы, покрытые биосовместимым покрытием, имеющим отрицательный заряд поверхности

Кремниевые (Si) наночастицы (порошок) получают от US Research Nanomaterials Inc. Их диспергируют в воде при  $30~\mathrm{г/л}$  при облучении ультразвуком (с датчиком).

Проводят 0,22 мкм фильтрацию на ПЭС мембранном фильтре и концентрацию (Si) наночастиц определяют сушкой суспензии в порошок и взвешиванием полученной массы.

Гидродинамический диаметр (параметр В интенсивности) определяют днамическим светорассеянием (ДСР) с применением Nano-Zetasizer (Malvern) при угле светорассеяния 173° с испусканием лазера при 633 нм, разведением суспензии наночастиц в воде концентрация: 0,1 г/л). Полученный таким гидродинамический диаметр биосовместимых золотых наночастиц в равен 164 HM, при коэффициенте полидисперсности суспензии (дисперсия популяции наночастиц в размере) 0,16.

Зета потенциал определяют измерением электрофоретической подвижности наночастиц (Nano-Zetasizer, Malvern) разведением суспензии наночастиц в растворе NaCl при 1 мM при рН 7 (конечная концентрация: 0,1 г/л). Зета потенциал при рН 7 равен -19 мВ.

ПРИМЕР 6. Наночастицы, полученные с изолирующим материалом, имеющим высокую относительную диэлектрическую константу, равную или выше 200: наночастицы титаната бария, покрытые биосовместимым покрытием, имеющим отрицательный заряд поверхности

Суспензию наночастиц титаната бария (BaTiO $_3$ ) (20% масс. в воде) получают от US Research Materials Inc. (US3835).

Функционализацию поверхности проводят с применением силанполи (этилен) гликоля 10 кДа ("Si-ПЭГ 10 кДа"). Коротко, "Si-ПЭГ 10 кДа" сначала растворяют в растворе этанол/вода (1/3 об./об.) и добавляют к суспензии  $BaTiO_3$  (20% масс. в воде) с получением полного покрытия монослоя на поверхности наночастиц. Суспензию обрабатывают ультразвуком и затем перемешивают в течение ночи. Затем проводят 0,22 мкм фильтрацию (фильтровальная мембрана:

поли(эфирсульфон)), стадию промывания для удаления непрореагировавших "Si-ПЭГ 10 Кда" полимеров.

Гидродинамический (параметр диаметр в интенсивности) определяют днамическим светорассеянием (ДСР) с применением Nano-Zetasizer (Malvern) при угле светорассеяния 173° с испусканием нм, разведением суспензии наночастиц в воде лазера при 633 (конечная концентрация: 0,1 г/л). Полученный гидродинамический диаметр биосовместимых золотых наночастиц в 164 при коэффициенте полидисперсности суспензии равен HM, (дисперсия популяции наночастиц в размере) 0,16.

Зета потенциал определяют измерением электрофоретической подвижности наночастиц (Nano-Zetasizer, Malvern) разведением суспензии наночастиц в растворе NaCl при 1 мM при рН 7 (конечная концентрация: 0,1 г/л). Зета потенциал при рН 7 равен -11 мВ.

ПРИМЕР 7. Исследование долговременной пластичности с применением электростимулирования нейронов лобной доли с МЭМ и функциональная оценка наночастиц в соответствии с данным изобретением

#### МАТЕРИАЛЫ И МЕТОДЫ

#### Нейрочипы на микроэлектродной матрице

48-ячеистые нейрочипы на микроэлектродной матрице покупают у Axion Biosystems Inc. Эти чипы имеют 16 пассивных электродов на ячейку. Поверхность покрывают в течение 1 часа полиэтиленимином (ПЭИ, 50% в боратном буфере), промывают и сушат на воздухе.

#### Первичная клеточная культура, условия обработки и электростимуляции

Ткань лобной доли собирают у эмбриона мыши chr:NMRI (Charles River). Мышей умерщвляют день цервикальной дислокацией. Ткань диссоциируют ферментативным перевариванием Куница/мл ДНазы; 10 единиц/мл (133,3 единиц папаина) механически растирают, подсчитывают, контролируют жизнеспособность и помещают в 20 мкл капле DMEM, содержащей ламинин (10 мкг/мл), 10% фетальной бычьей сыворотки и 10% лошадиной сыворотки, на МЭМ. Культуры на МЭМ инкубируют при 37°С

в 10%  $CO_2$  атмосфере до готовности к применению. Развившиеся сокультуры обрабатывают ингибиторами митоза 5-фтор-2'деоксиуридином (25 мкМ) и уридином (63 мкМ) на 5 день после высевания для предотвращения дальнейшей глиальной пролиферации. Культуральную среду снова наполняют два раза в неделю DMEM, содержащей 10% лошадиную сыворотку.

долю культивируют в течение 26 дней (период культивирования, также называемый "нативная фаза"). Количество активных ячеек подсчитывают, и добавляют суспензии наночастиц (800 мкМ) (группы "Наночастицы") или воду (группа "Контроль") в активные ячейки. Через 2 дня (48 часов) инкубирования активность записывают в течение 2 часов (запись "Пред-стим"), затем проводят 30-минутную низкочастотную стимуляцию (НЧС-1) (стадия і)) и 90минутную низкочастотную стимуляцию (HYC-2) (стадия ii)), с или без промежуточной стадии і') (после стадии і) и до стадии іі)) тетанической стимуляции (высокая частота, ВЧС) в течение минут. После нативной фазы два активных электрода идентифицируют на ячейку и выбирают для стимулирования. Один из них стимулируют НЧС на стадиях i) и ii), и оба электрода стимулируют ВЧС на стадии i'). Запись проводят во время стадии i) (значения получают из 60 секунд сгруппированных данных, полученных из 30 минутного периода) и стадии іі) (значения получают из 60 секунд сгруппированных данных, полученных из 30 минутного периода после 60 минутной НЧС) (см. фигуру 5).

#### Параметры электростимуляции

Низкочастотная стимуляция (стадии і) и іі)): 30 минут или 90 минут

Стимуляция одного электрода на ячейку в 48-ячеистой МЭМ Минимальная длительности стимуляции: 100 мкс Искусственная элиминация 2 мс после импульса 1 импульс (двухфазный) при +/- 500 мВ (частота 0,2 Гц) Высокочастотная стимуляция (стадия і')): 5 минут Стимуляция одного электрода на ячейку в 48-ячеистой МЭМ Минимальная длительности стимуляции: 100 мкс Minimum stimulation duration: 100 µs

Искусственная элиминация 2 мс после импульса

11 импульсов (двухфазных) при +/- 500 мВ (частота 20 Гц) и период последовательности импульсов (частота 0,2 Гц)

#### Многоканальная запись и многопараметрический анализ данных

Для записи применяют многоканальную систему записи MAESTRO от Axion Biosystems (USA). Для внеклеточной записи 48-ячеистые МЭМ помещают в станцию записи MAESTRO и выдерживают при  $37^{\circ}$ С. Записи делают в DMEM/10% инактивированной теплом лошадиной сыворотки. рН поддерживают на уровне 7,4 при непрерывном потоке или фильтрованного, увлажненного воздуха с 10% CO<sub>2</sub>.

Каждую единицу, представляющую активность, происходящую из одного нейрона, записывают на одном электроде. Единицы разделяют в начале записи. Для каждой единицы потенциалы действия (т.е. всплески) записывают как последовательность всплесков, которые собирают в так называемые "вспышки". Вспышки количественно описывают через анализ прямой последовательности всплесков с применением программ Spike Wrangler и NPWaveX (обе от NeuroProof GmbH, Rostock, Germany). Вспышки определяют началом и концом коротких всплесков (см. фигуру 6).

С помощью многопараметрического анализа высокого содержания шаблонов активности сети выделяют 204 параметров, описывающих активность последовательности всплесков. Эти параметры позволяют точно описать изменения активности в следующих четырех категориях: общая активность, структура вспышки, режим колебаний и синхронность.

- Изменения в "параметрах общей активности" описывают действие частоты испускания потенциала действия (скорость всплеска), скорость вспышки и период вспышки как время между вспышками.
- "Параметры структуры вспышки" определяют не только внутреннюю структуру всплесков в высокочастотной фазе всплесков ("вспышке"), например, частоту всплесков в вспышках, скорость всплесков в вспышках и плотность вспышки всплесков, но также общую структуру вспышки, такую как длительность, площадь и плато.

- "Параметры колебаний" количественно оценивают регулярность возникновения или структуру вспышек, которую рассчитывают через параметров первичной коэффициенты вариации описывающих вариабельность параметров (общая активность, структура вспышки) в экспериментальных эпизодах (Gramowski A. et J. Neurosci., 2004, 19, 2815-2825: Substance al., Eur. identification by quantitative characterization of oscillator activity in murine spinal cord networks on microelectrode arrays). Более высокие значения показывают менее регулярную или менее регулярную общую активность СТРУКТУРУ ВСПЫШКИ (например, пульсацию, испускание вспышек).

Как показатель синхронности последовательностей всплесков, "параметры КВсеть" отражают "синхронизацию" среди нейронов в сети (Gramowski A. et al., Eur. J. Neurosci., 2004, 19, 2815-2825: Substance identification by quantitative characterization of oscillator activity in murine spinal cord networks on microelectrode arrays). КВсеть является коэффициентом вариации по всей сети. Большие значения КВсеть означают широкий спектр вариаций в активности в сети, означая меньшую синхронизацию. (Gramowski A. et al., Frontiers in Neurology, 2015, 6(158): Enhancement of cortical network activity in vitro and promotion of GABAergic neurogenesis by stimulation with an electromagnetic field with 150 MHz carrier wave pulsed with an alternating 10 and 16 Hz modulation).

Функциональные эффекты, вызванные высокочастотной стимуляцией (ВЧС) на нейронной сети, в присутствии или отсутствии наночастиц в соответствии с данным изобретением, оценивают через описанные выше параметры (также обобщены для некоторых из них в таблице 1 ниже).

 $\underline{\text{Таблица}}$  1: Параметры, описывающие активность, из многопараметрического анализа данных в следующих категориях: общая активность и режим колебаний.

Общая активность	Скорость	Количество всплесков в секунду,
	всплеска	среднее для всех записанных
		последовательностей всплесков

вспышки для всех записанных единиц  Скорость Количество событий в минуту. Событие события определено как синхронная активность вспышки, по крайней мере, 50% от всех единиц в сети в период времени 300 мс  Длительность Стандартное отклонение длительности вспышки СО вспышки, отражающее вариабельность длительности вспышки в экспериментальных эпизодах.  Площадь Стандартное отклонение площади под кривой после интегрирования вспышки, определенного длительностью вспышки, количество вспыесков во вспышках, частота всплесков во вспышках, частота всплесков во вспышках.  Параметр описывает вариабельность площади вспышки в экспериментальных эпизодах. Волее высокие значения показывают менее регулярную структуру вспышки.  Количество стандартное отклонение количества всплесков во вспышках описывает изменение количества всплесков одной единицы во вспышках описывает изменение количества всплесков одной единицы во вспышках описывает начения являются показателем низкие значения являются показателем низкие значения являются показателем низшей степени изменения в		Скорость	Количество вспышек в минуту, среднее
определено как синхронная активность вспышки, по крайней мере, 50% от всех единиц в сети в период времени 300 мс  Длительность Стандартное отклонение длительности вспышки СО вспышки, отражающее вариабельность длительности вспышки в экспериментальных эпизодах.  Площадь Стандартное отклонение площади под кривой после интегрирования вспышки, определенного длительностью вспышки, количество всплесков во вспышках, частота всплесков во вспышках.  Параметр описывает вариабельность площади вспышки в экспериментальных эпизодах. Более высокие значения показывают менее регулярную структуру вспышки.  Количество вспышеки.  Количество вспышеки в окспышках описывает всплесков во вспышках описывает всплесков бо вспышках описывает изменение количества всплесков одной единицы во вспышке в экспериментальных эпизодах. Более низкие значения являются показателем низшей степени изменения в		вспышки	для всех записанных единиц
вспышки, по крайней мере, 50% от всех единиц в сети в период времени 300 мс  Длительность Стандартное отклонение длительности вспышки СО вспышки, отражающее вариабельность длительности вспышки в экспериментальных эпизодах.  Площадь Стандартное отклонение площади под кривой после интегрирования вспышки, определенного длительностью вспышки, количество всплесков во вспышках. Параметр описывает вариабельность площади вспышки в экспериментальных эпизодах. Более высокие значения показывают менее регулярную структуру вспышки.  Режим Количество вспышеки в спресков во вспышки вспышки в отруктуру вспышки.  Количество вспышеки вспресков во вспышках описывает всплесков со изменение количества всплесков одной единицы во вспышка эпизодах. Более низкие значения являются показателем низшей степени изменения в		Скорость	Количество событий в минуту. Событие
Всех единиц в сети в период времени 300 мс  Длительность Стандартное отклонение длительности вспышки СО вспышки, отражающее вариабельность длительности вспышки в экспериментальных эпизодах.  Площадь Стандартное отклонение площади под кривой после интегрирования вспышки, определенного длительностью вспышки, количество всплесков во вспышках, частота всплесков во вспышках.  Параметр описывает вариабельность площади вспышки в экспериментальных эпизодах. Волее высокие значения показывают менее регулярную структуру вспышки.  Режим Количество Стандартное отклонение количества всплесков во вспышках описывает изменение количества всплесков одной единицы во вспышке в экспериментальных эпизодах. Волее низкие значения являются показателем низшей степени изменения в		события	определено как синхронная активность
Длительность Стандартное отклонение длительности вспышки СО вспышки, отражающее вариабельность длительности вспышки в экспериментальных эпизодах.  Площадь Стандартное отклонение площади под кривой после интегрирования вспышки, определенного длительностью вспышки, количество всплесков во вспышках, частота всплесков во вспышках.  Параметр описывает вариабельность площади вспышки в экспериментальных эпизодах. Волее высокие значения показывают менее регулярную структуру вспышки.  Количество всплесков во вспышки.  Количество вспышки в экспериментальных эпизодах. Волее высокие значения показывают менее регулярную структуру вспышки.  Количество вспышки в экспериментальных описывает изменение количества всплесков одной единицы во вспышке в экспериментальных эпизодах. Более низкие значения являются показателем низшей степени изменения в			вспышки, по крайней мере, 50% от
Длительность вспышки, отражающее вариабельности вспышки в экспериментальных эпизодах.  Площадь Стандартное отклонение площади под кривой после интегрирования вспышки, определенного длительностью вспышки, количество вспыесков во вспышках, частота всплесков во вспышках.  Параметр описывает вариабельность площади вспышки в экспериментальных эпизодах. Волее высокие значения показывают менее регулярную структуру вспышки.  Режим Количество Стандартное отклонение количества всплесков во вспышех всплесков во вспышках описывает изменение количества всплесков одной единицы во вспышке в экспериментальных эпизодах. Более низкие значения являются показателем низшей степени изменения в			всех единиц в сети в период времени
вспышки СО  вспышки, отражающее вариабельность длительности вспышки в экспериментальных эпизодах.  Площадь  вспышки СО  кривой после интегрирования вспышки, определенного длительностью вспышки, количество всплесков во вспышках, частота всплесков во вспышках.  Параметр описывает вариабельность площади вспышки в экспериментальных эпизодах. Волее высокие значения показывают менее регулярную структуру вспышки.  Количество  всплесков во вспышки.  Стандартное отклонение количества всплесков одной единицы во вспышке в экспериментальных эпизодах. Более низкие значения являются показателем низшей степени изменения в			300 мс
режим  Количество  Количество  Количество  Вспышки  Стандартное отклонение площади под кривой после интегрирования вспышки, определенного длительностью вспышки, количество всплесков во вспышках, частота всплесков во вспышках. Параметр описывает вариабельность площади вспышки в экспериментальных эпизодах. Более высокие значения показывают менее регулярную структуру вспышки.  Количество  Количество  Количество  Стандартное отклонение количества всплесков во вспышках описывает изменение количества всплесков одной единицы во вспышке в экспериментальных эпизодах. Более низкие значения являются показателем низшей степени изменения в		Длительность	Стандартное отклонение длительности
Режим  Количество вспышки  Количество вспышки  Вспышек Вельшеки в режим  Режим  Количество вспышки  Количество вспышки  Количество вспышки в респериментальных распышки  показывают менее регулярную  структуру вспышки  Количество всплесков во вспышках  параметр описывает вариабельность площади вспышки в респериментальных распышки в респериментальных распышки  Количество вспышки  Количество вспышки в респышки  Структуру вспышки  Количество вспышки  Количество вспышках описывает  всплесков во вспышках описывает  всплесков во вспышках описывает  изменение количества всплесков одной единицы во вспышке в респериментальных распышке в респериментальных распышках показателем низшей степени изменения в		вспышки СО	вспышки, отражающее вариабельность
Площадь Вспышки СО Кривой после интегрирования вспышки, определенного длительностью вспышки, количество всплесков во вспышках, частота всплесков во вспышках. Параметр описывает вариабельность площади вспышки в экспериментальных эпизодах. Более высокие значения показывают менее регулярную структуру вспышки.  Количество вспышек всплесков во вспышках описывает вспышек всплесков во вспышках описывает вспышек всплесков во вспышках описывает нозменение количества всплесков одной единицы во вспышке в экспериментальных эпизодах. Более низкие значения являются показателем низшей степени изменения в			длительности вспышки в
вспышки СО кривой после интегрирования вспышки, определенного длительностью вспышки, количество всплесков во вспышках, частота всплесков во вспышках. Параметр описывает вариабельность площади вспышки в экспериментальных эпизодах. Более высокие значения показывают менее регулярную структуру вспышки.  Количество структуру вспышки.  Количество вспышек всплесков во вспышках описывает всплесков во вспышках описывает изменение количества всплесков одной единицы во вспышке в экспериментальных эпизодах. Более низкие значения являются показателем низшей степени изменения в			экспериментальных эпизодах.
определенного длительностью вспышки, количество всплесков во вспышках, частота всплесков во вспышках. Параметр описывает вариабельность площади вспышки в экспериментальных эпизодах. Более высокие значения показывают менее регулярную структуру вспышки.  Режим  Количество Стандартное отклонение количества всплесков во вспышках описывает изменение количества всплесков одной единицы во вспышке в экспериментальных эпизодах. Более низкие значения являются показателем низшей степени изменения в		Площадь	Стандартное отклонение площади под
количество всплесков во вспышках, частота всплесков во вспышках. Параметр описывает вариабельность площади вспышки в экспериментальных эпизодах. Более высокие значения показывают менее регулярную структуру вспышки.  Количество вспышек всплесков во вспышках описывает всплесков со изменение количества всплесков одной единицы во вспышке в экспериментальных эпизодах. Более низкие значения являются показателем низшей степени изменения в		вспышки СО	кривой после интегрирования вспышки,
Режим колебаний Количество вспышек вспысков со изменение количества всплесков одной единицы во вспышке в экспериментальных эпизодах. Более низкие значения являются показателем низшей степени изменения в			определенного длительностью вспышки,
Параметр описывает вариабельность площади вспышки в экспериментальных эпизодах. Более высокие значения показывают менее регулярную структуру вспышки.  Количество вспышек всплесков во вспышках описывает всплесков СО изменение количества всплесков одной единицы во вспышке в экспериментальных эпизодах. Более низкие значения являются показателем низшей степени изменения в			количество всплесков во вспышках,
площади вспышки в экспериментальных эпизодах. Более высокие значения показывают менее регулярную структуру вспышки.  Количество вспышек всплесков во вспышках описывает всплесков СО изменение количества всплесков одной единицы во вспышке в экспериментальных эпизодах. Более низкие значения являются показателем низшей степени изменения в			частота всплесков во вспышках.
эпизодах. Более высокие значения показывают менее регулярную  Режим  Количество  вспышек  всплесков во вспышках описывает  всплесков СО  изменение количества всплесков одной единицы во вспышке в экспериментальных эпизодах. Более низкие значения являются показателем низшей степени изменения в			Параметр описывает вариабельность
Режим  колебаний  Количество  вспышек  всплесков во вспышках описывает  всплесков СО  изменение количества всплесков одной единицы во вспышке в экспериментальных эпизодах. Более низкие значения являются показателем низшей степени изменения в			площади вспышки в экспериментальных
Режим колебаний Количество вспышек всплесков во вспышках описывает всплесков СО изменение количества всплесков одной единицы во вспышке в экспериментальных эпизодах. Более низкие значения являются показателем низшей степени изменения в			эпизодах. Более высокие значения
колебаний Количество Стандартное отклонение количества вспышек всплесков во вспышках описывает всплесков СО изменение количества всплесков одной единицы во вспышке в экспериментальных эпизодах. Более низкие значения являются показателем низшей степени изменения в			показывают менее регулярную
вспышек всплесков во вспышках описывает всплесков СО изменение количества всплесков одной единицы во вспышке в экспериментальных эпизодах. Более низкие значения являются показателем низшей степени изменения в	Режим		структуру вспышки.
всплесков СО изменение количества всплесков одной единицы во вспышке в экспериментальных эпизодах. Более низкие значения являются показателем низшей степени изменения в	колебаний	Количество	Стандартное отклонение количества
единицы во вспышке в экспериментальных эпизодах. Более низкие значения являются показателем низшей степени изменения в		вспышек	всплесков во вспышках описывает
экспериментальных эпизодах. Более низкие значения являются показателем низшей степени изменения в		всплесков СО	изменение количества всплесков одной
низкие значения являются показателем низшей степени изменения в			единицы во вспышке в
низшей степени изменения в			экспериментальных эпизодах. Более
			низкие значения являются показателем
'			низшей степени изменения в
количестве всплесков во вспышке, то			количестве всплесков во вспышке, то
есть более регулярную структуру			есть более регулярную структуру
вспышки.			вспышки.
Скорость Стандартное отклонение количества		Скорость	Стандартное отклонение количества
вспышки СО вспышек в минуту, показывающее		вспышки СО	вспышек в минуту, показывающее
вариабельность способности к			вариабельность способности к
вспышкам единиц в экспериментальных			вспышкам единиц в экспериментальных

эпизодах.

Функциональное действие на активность сети во время НЧС-2 то есть после стадии ВЧС і'), в (стадия іі), присутствии тестируемых наночастиц или в их отсутствие, было нормализовано до активности "НЧС-1", т.е. активности, измеренной во время низкочастотной стимуляции на стадии і). Значения получают из 60 секундных сгруппированных данных, полученных в 30 минутный период. Результаты (значения параметров) выражены как среднее ± СОС независимых сетей. Для каждой группы "Наночастицы" или группы "Контроль", по крайней мере, 8 активных ячеек ("активная" означает достаточным количеством электродов, измеряющих электрическую активность) были включены в анализ. Распределения параметров тестировали абсолютных на нормальность, между группами статистическую значимость оценивали однопараметрическим ANOVA.

Фигуры 7 и 8 представляют некоторые типовые параметры (общая активность и режим колебаний), характеризующие функциональное действие, вызванное ВЧС для групп "Контроль" и групп "Наночастицы" (наночастицы из примера 1 и из примера 3). Повышение этого действия по сравнению с действием в группах "Контроль" в присутствии наночастиц на клеточном уровне показывает потенцирующий эффект благодаря этим наночастицам.

Фигура показывает, ЧТО предварительная обработка сети наночастицами из нейронной примера 3 и обработка высокочастотной электростимуляцией (ВЧС) повышает функциональной действие по сравнению с группами "Контроль". Интересно, улучшенные функциональной действие наблюдается для параметров, принадлежащих к категории общей активности (обычно "скорость вспышки" и "скорость события"), и они достигают уровней выше тех, которые наблюдают у ВЧС-стимулированной группы "Контроль". Это специфическое К наночастицам ВЧС-медиированное потенцирование, которое может быть коррелированно с улучшением связей в сети и, следовательно, с улучшением эффективных возможности памяти нейронной сети.

Фигура 8 показывает, что предварительная обработка нейронной сети наночастицами из примера 1 и обработка высокочастотной электростимуляцией (ВЧС) повышает функциональной действие по сравнению с группами "Контроль". Интересно, что улучшенные функциональной действие наблюдается для параметров, принадлежащих к категории режим колебаний (обычно "длительность вспышки СО", "площадь вспышки СО" и "количество всплесков вспышки СО"), и они достигают более благоприятных уровней чем те, которые наблюдают у ВЧС-стимулированной группы "Контроль". Это показывает специфическое к наночастицам ВЧС-медиированное потенцирование, которое может быть коррелированно с реструктурированными вспышками, способствующими хранению информации в сети следовательно, улучшением возможности памяти нейронной сети.

Эти результаты подчеркивают преимущественные характеристики наночастиц, описанных в данной заявке, в улучшении функционального действия (связи нейронов и хранении информации в нейронной сети), вызванном электростимуляцией в нейронной сети.

#### ФОРМУЛА ИЗОБРЕТЕНИЯ

- 1. Наночастица или агрегат наночастиц для применения в улучшении деятельности мозга или в профилактике или лечении патологического стресса у субъекта, когда наночастицу или агрегат наночастиц подвергают воздействию электрического поля, где материал наночастицы или агрегата наночастиц выбирают из проводящего материала, полупроводящего материала, изолирующего материала с диэлектрической константой  $\epsilon_{ijk}$  равной или выше 200, и изолирующего материала с диэлектрической константой  $\epsilon_{ijk}$  равной или ниже 100.
- 2. Наночастица или агрегат наночастиц для применения по пункту 1, где электрическое поле применяют путем транскраниальной электростимуляции или транскраниальной магнитной стимуляции.
- 3. Наночастица или агрегат наночастиц для применения по пункту 1 или 2, где материалом наночастицы или агрегата наночастиц является проводящий материал, выбранный из металла, имеющего стандартный потенциал восстановления Е выше 0,2, и органического материала, имеющего в своей структуре соседние sp2-гибридизированные углеродные центры.
- 4. Наночастица или агрегат наночастиц для применения по пункту 3, где материал наночастицы или агрегата наночастиц выбирают из металлической наночастицы, где металлическим элементом является Ir, Pd, Pt, Au или их смесь, и органической наночастицы, состоящей из полианилина, полипиррола, полиацетилена, политиофена, поликарбазола и/или полипирена.
- 5. Наночастица или агрегат наночастиц для применения по пункту 1 или 2, где материалом наночастицы или агрегата наночастиц является полупроводящий материал с запрещенной зоной Eq ниже 3,0 эВ.
- 6. Наночастица или агрегат наночастиц для применения по пункту 5, где материал наночастицы или агрегата наночастиц состоит из элемента из группы IVA Периодической таблицы Менделеева, или смешанной композиции элементов из групп III и V периодической таблицы Менделеева, или из смешанной композиции

элементов из группы II и VI периодической таблицы Менделеева.

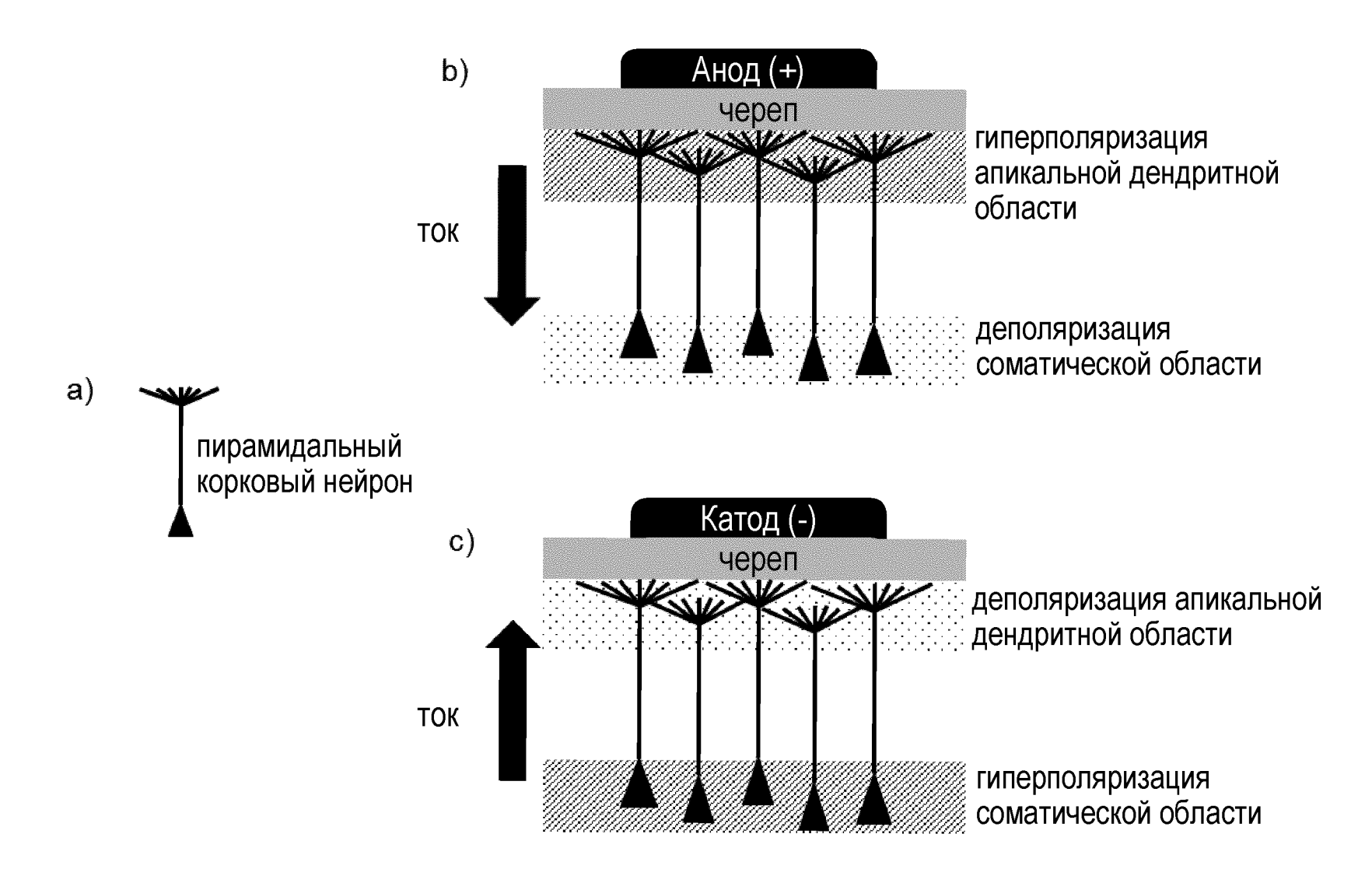
- 7. Наночастица или агрегат наночастиц для применения по пункту 6, где материал наночастицы или агрегата наночастиц состоит из элемента из группы IVA Периодической таблицы Менделеева и легирован носителем заряды, выбранным из Al, B, Ga, In и P.
- 8. Наночастица или агрегат наночастиц для применения по пункту 1 или 2, где материалом является изолирующий материал с запрещенной зоной Eg, равной или выше 3,0 эВ, а относительную диэлектрическую константу  $\epsilon_{\rm ijk}$  измеряют при температуре от 20°C до 30°C и частоте от  $10^2$  Гц вплоть до инфракрасной частоты.
- 9. Наночастица или агрегат наночастиц для применения по пункту 8, где материалом является изолирующий материал с запрещенной зоной Eg, равной или выше 3,0 эВ, а относительная диэлектрическая константа  $\varepsilon_{ijk}$  равна или выше 200, и материалом наночастицы или агрегата наночастиц является диэлектрический материал, который является смешанным оксидом металла, выбранным из ВаТіО3, КТаNbO3, КТаO3, SrTiO3 и BaSrTiO3.
- 10. Наночастица или агрегат наночастиц для применения по пункту 8, где материалом является изолирующий материал с запрещенной зоной Eg, равной или выше 3,0 эВ, а относительная диэлектрическая константа  $\epsilon_{ijk}$  равна или ниже 100, и материалом наночастицы или агрегата наночастиц является диэлектрический материал, который выбирают из оксида металла, смешанного оксида металла, элемента-металла, который относится к периоду 3, 5 или 6 Периодической таблицы Менделеева или является лантанидом, и углеродного материала.
- 11. Наночастица или агрегат наночастиц для применения по любому из пунктов 1-10, где наночастица или агрегат наночастиц предназначены для применения в улучшении физических свойств или для улучшения обучения, запоминания, чувственного восприятия, внимания и/или принятия решений у субъекта.
- 12. Композиция для применения в улучшении деятельности мозга или профилактике или лечении патологического стресса у субъекта, находящегося под воздействием электрического поля, где

композиция содержит наночастицы и/или агрегаты наночастиц и фармацевтически приемлемую подложку, и где материал наночастицы или агрегата наночастиц выбирают из проводящего материала, полупроводящего материала, изолирующего материала с диэлектрической константой  $\epsilon_{ijk}$  равной или выше 200, и изолирующего материала с диэлектрической константой  $\epsilon_{ijk}$  равной или ниже 100.

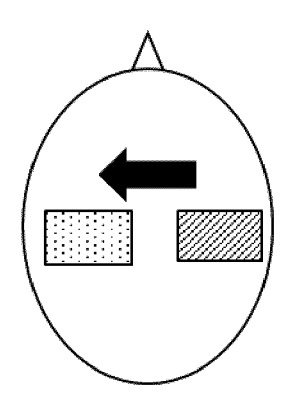
- 13. Композиция для применения по пункту 12, где композиция содержит, по крайней мере, две разных наночастицы и/или агрегата наночастиц, причем каждая наночастица или агрегат наночастиц состоит из разных материалов, выбранных из проводящего материала, полупроводящего материала, изолирующего материала с диэлектрической константой  $\epsilon_{ijk}$  равной или выше 200, и изолирующего материала с диэлектрической константой  $\epsilon_{ijk}$  равной или ниже 100.
- 14. Набор, содержащий, по крайней мере, две разные наночастицы и/или агрегата наночастиц, где каждая наночастица или агрегат наночастиц состоит из разных материалов, выбранных из проводящего материала, полупроводящего материала, изолирующего материала с диэлектрической константой  $\epsilon_{ijk}$  равной или выше 200, и изолирующего материала с диэлектрической константой  $\epsilon_{ijk}$  равной константой  $\epsilon_{ijk}$  равной или ниже 100.
- 15. Набор по пункту 14 для применения в улучшении деятельности мозга или в профилактике или лечении патологического стресса у субъекта.

По доверенности

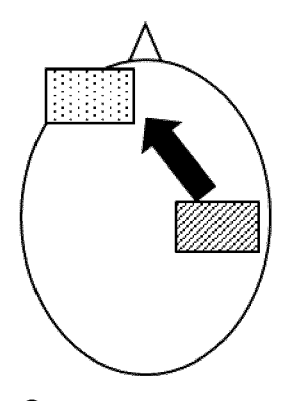
## ФИГ.1



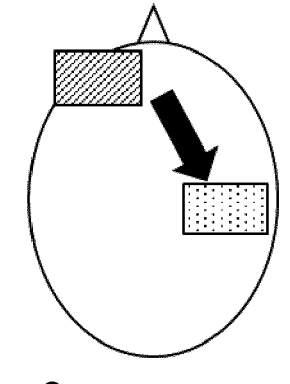
1/8



Двухсторонняя установка



Односторонняя установка: анодная стимуляция



Односторонняя установка: катодная стимуляция



Анодный электрод



Катодный электрод

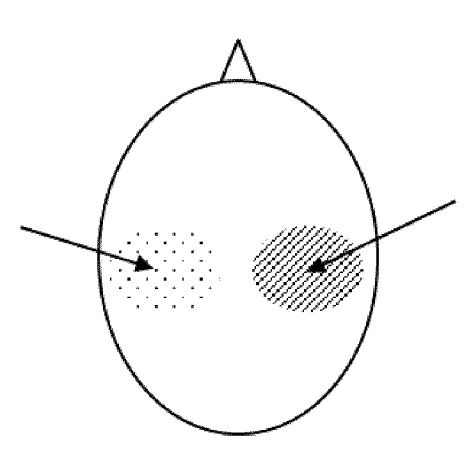


Ток

2/8

# ФИГ.3

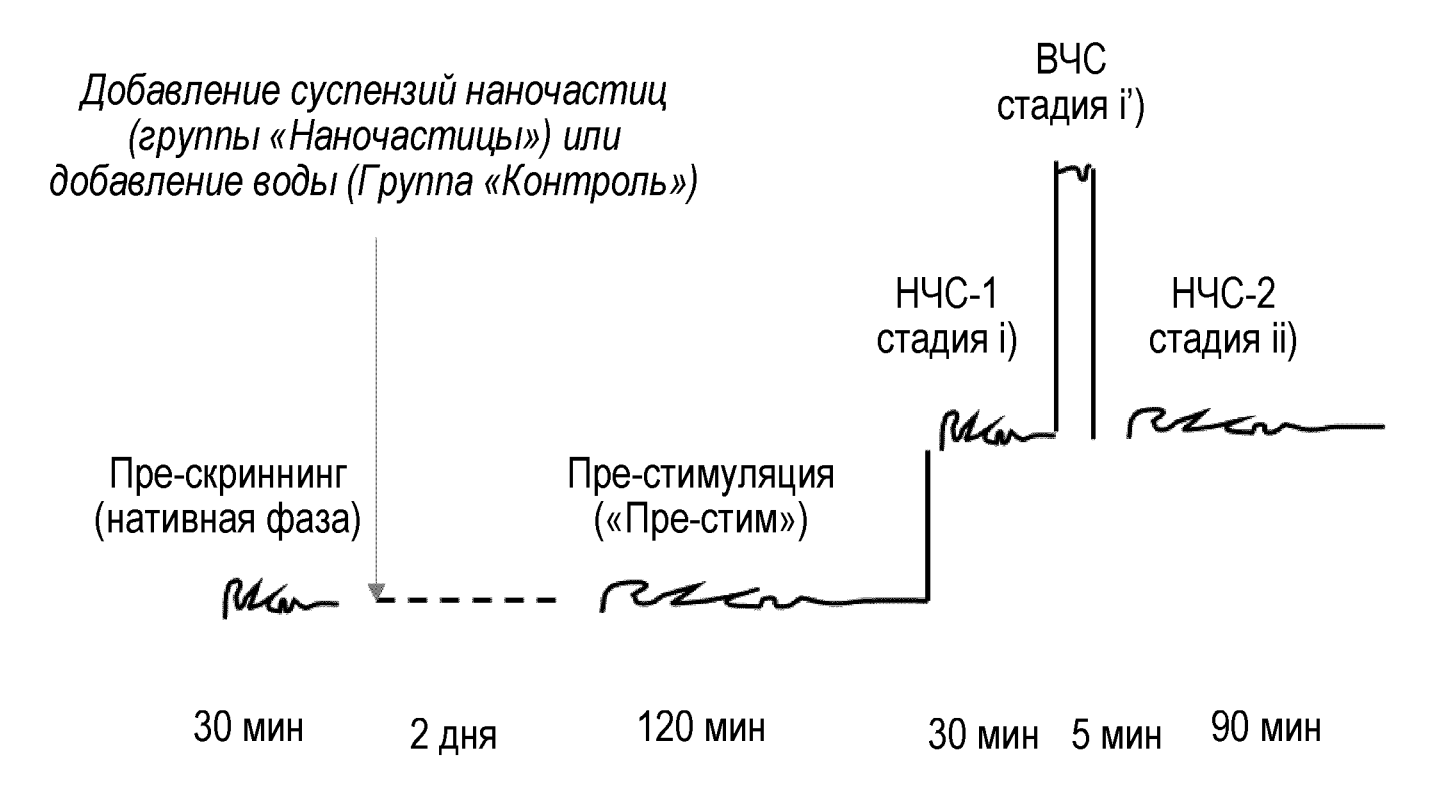
Катодная стимуляция: ингибирующее действие на нейронную активность



Анодная стимуляция: возбуждающее действие на нейронную активность

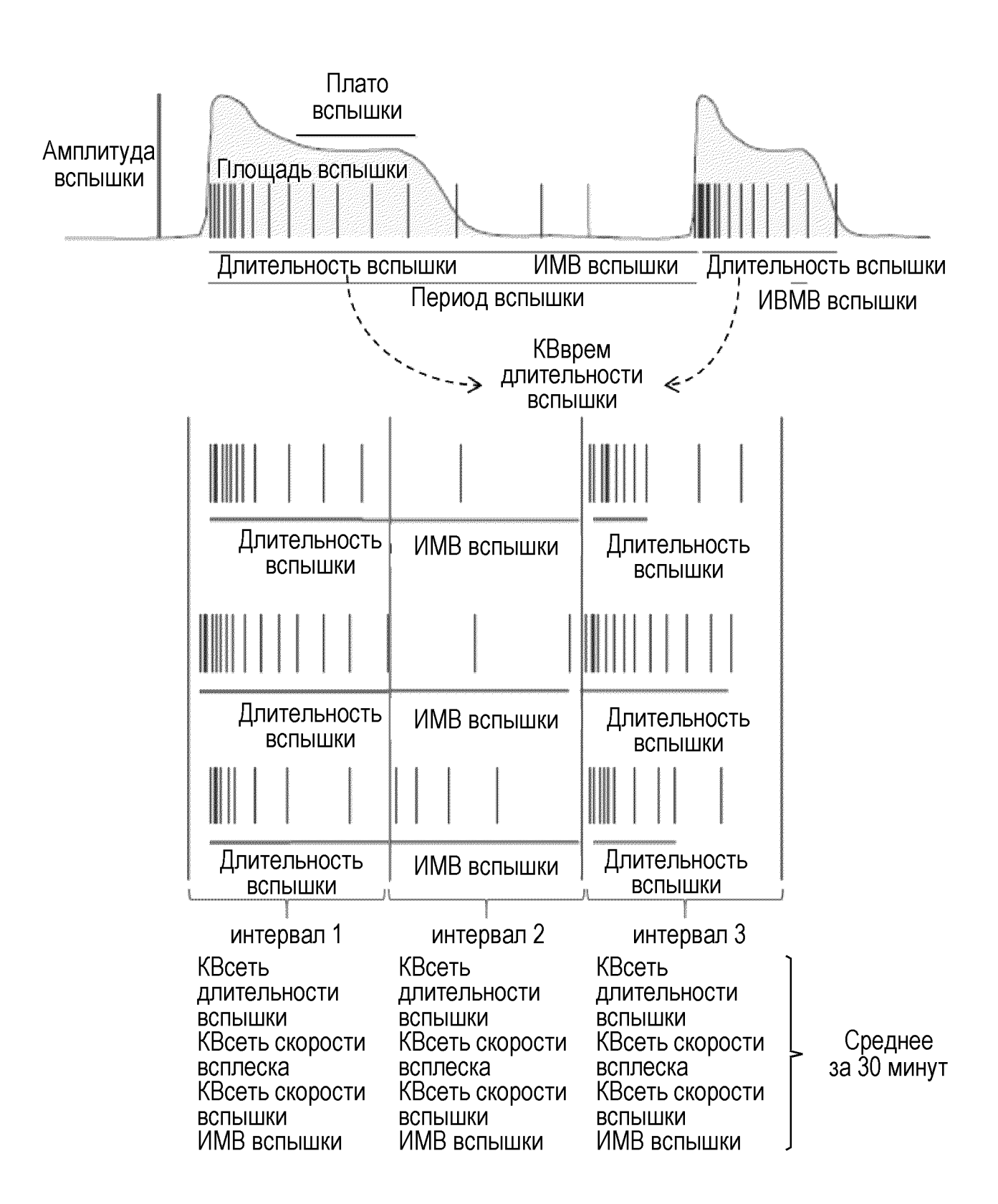
### ФИГ.4

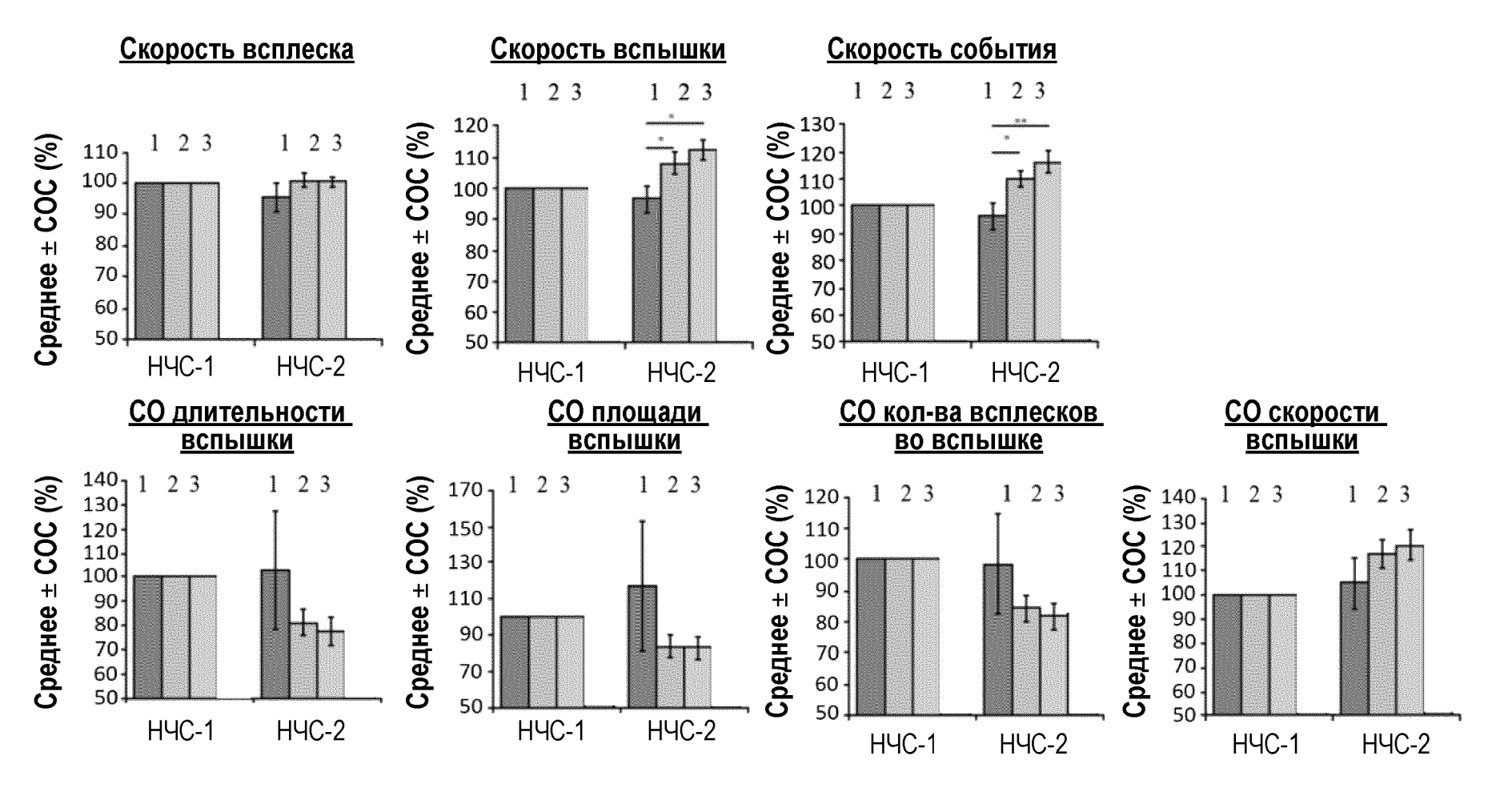
Анодная стимуляция: Катодная стимуляция + NP1: возбуждающее улучшенное ингибирующее действие на a) действие на нейронную нейронную активность активность Анодная стимуляция + NP2: улучшенное Катодная стимуляция: возбуждающее ингибирующее действие на b) действие на нейронную нейронную активность активность Анодная стимуляция Катодная стимуляция + NP1: + NP2: улучшенное улучшенное ингибирующее возбуждающее c) действие на нейронную действие на нейронную активность активность



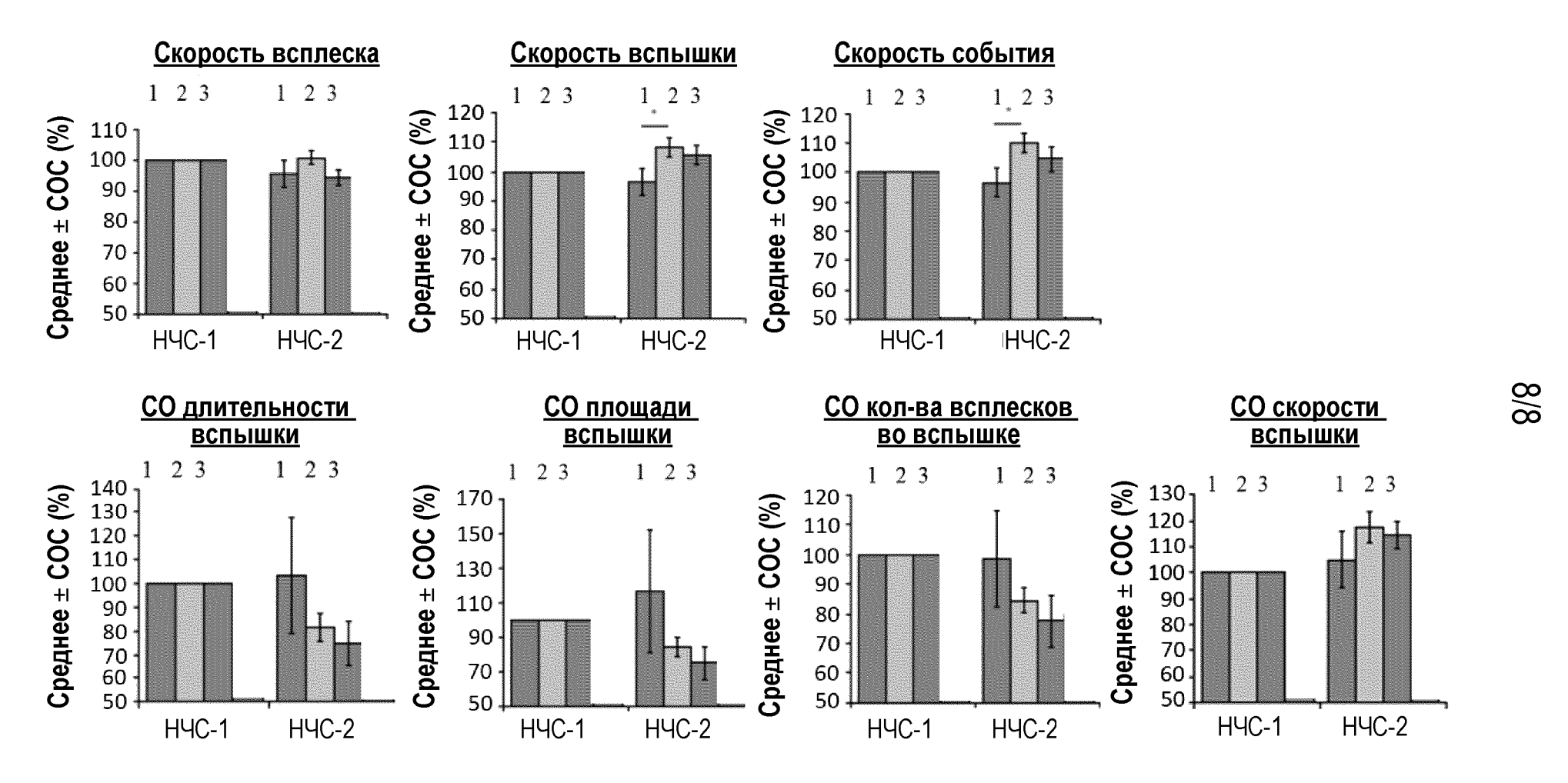
5/8

### ФИГ.6





- 1: Группа «Контроль» без ВЧС (стадия і) и стадия іі))
- 2: Группа «Контроль» с ВЧС (стадия і), стадия і') и стадия іі))
- 3: Группа «Наночастицы» с ВЧС (стадия і), стадия і') и стадия іі)): наночастицы ZrO<sub>2</sub> из примера 3



- 1: Группа «Контроль» без ВЧС (стадия і) и стадия іі))
- 2: Группа «Контроль» с ВЧС (стадия і), стадия І') и стадия іі))
- 3: Группа «Наночастицы» с ВЧС (стадия і), стадия І') и стадия іі)): наночастицы золота из примера 1